

Supplementary material for

**Long-term repeatability and interlaboratory reproducibility of high-precision ID-TIMS
U-Pb geochronology**

Urs Schaltegger, Maria Ovtcharova, Sean P. Gaynor, Blair Schoene, Jörn-Frederik Wotzlaw, Joshua F.H.L. Davies, Federico Farina, Nicolas Greber, Dawid Szymanowski, Cyril Chelle-Michou

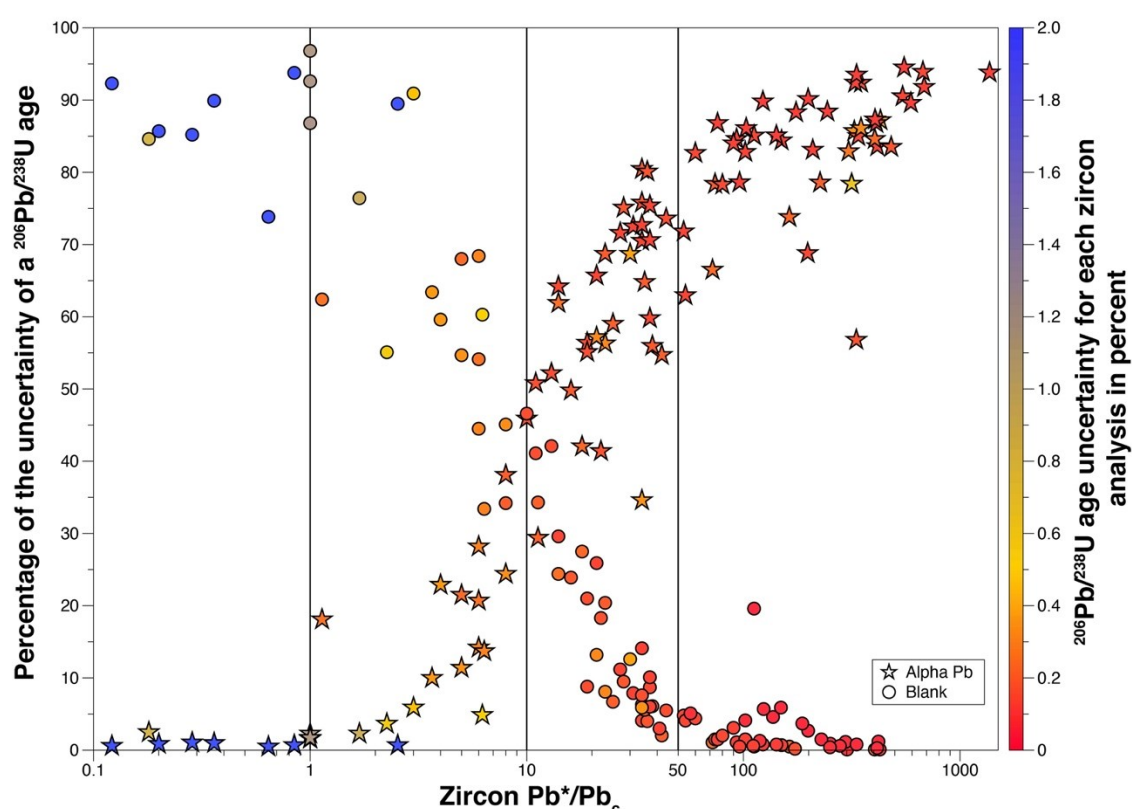


Fig. S1 Compilation of error contributions from 112 U-Pb age determinations of natural zircon in the UNIGE lab. Data are compiled in Table S3.

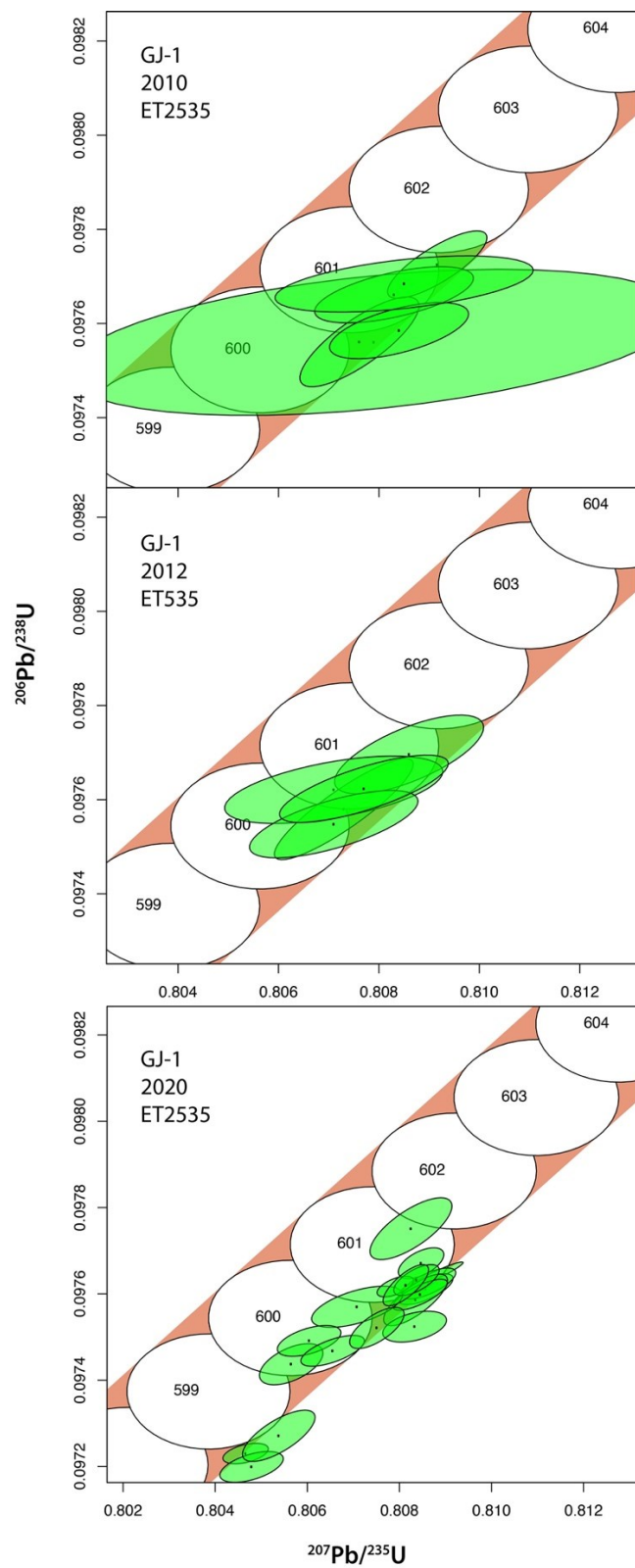


Fig. S2 Concordia diagrams of the three measurement blocks of GJ-1 at University of Geneva, data are in Table S6

Table S1: Compilation of single grain U-Pb analyses measured at University of Geneva with error sources

Fraction	Composition				Dates (Ma)								Isotopic Ratios								Error contributions (%)						
	Th'	Pb*	Pbc	Pb*/ Pbc d	206Pb/ 238U e	±2σ	238U abs <Th> f	±2σ	207Pb/ 238U e	±2σ	207Pb/ 206Pb e	±2σ	Corr. coef.	% disc g	206Pb/ 204Pb h	206Pb/ 238U i	207Pb/ 235U i	207Pb/ 206Pb i	206Pb/ 204Pb h	207Pb/ 238U i	207Pb/ 206Pb i	Pb Alpha Pb	U Blank	U measured	Oxide measured	Total	
	U a (pg) b	(pg) c	(pg) c																								
Alpha tests																											
AN731_b1	0.07	1.77	0.23	8	201.95	0.34	202.05	0.34	201.3	2.2	194	25	0.705	-4.32	518	0.031823	0.17	0.2193	1.2	0.04999	1.1	38.1	34.2	27.4		99.7	
AN731_b2	0.02	4.38	0.23	19	200.19	0.25	200.3	0.25	199.6	1.2	192	14	0.472	-4.05	1255	0.031542	0.13	0.2172	0.66	0.04997	0.61	56.4	8.8	33.2	3.3	101.7	
AN731_b3	0.05	1.83	0.32	6	202.2	0.54	202.3	0.54	201.7	2.7	196	31	0.598	-3	388	0.031863	0.27	0.2198	1.5	0.05005	1.3	28.2	44.5	25.6	1.4	99.7	
AN731_b4	0.02	1.58	0.37	4	202.22	0.66	202.32	0.66	191.5	3.4	61	42	0.563	-230	297	0.03167	0.33	0.2075	1.9	0.04726	1.8	22.9	59.6	17.4		99.9	
AN731_z1	2.95	8.09	0.22	37	201.14	0.22	201.16	0.22	199	1.1	174	12	0.775	-15.69	1318	0.031694	0.11	0.2165	0.6	0.04957	0.51	59.8	8.7	31.3		99.8	
AN731_z2	1.73	3.79	0.24	16	201.07	0.31	201.12	0.31	199.1	1.6	176	19	0.645	-13.98	718	0.031683	0.16	0.2167	0.9	0.04962	0.8	49.8	23.9	26.16		99.86	
AN731_z5	0.64	0.641	0.75	1	2017	2.4	2017	2.4	2065	35	2113	56	0.698	-4.53	62	0.03675	1.4	6.64	4	0.1312	3.2	2.3	92.6	5.03		99.93	
AN733_z1	0.66	13.3	0.93	14	326.41	0.7	326.49	0.7	362.3	1.8	599	11	0.635	-45.53	798	0.05194	0.22	0.4288	0.6	0.05991	0.49	61.9	24.4	13.5		99.8	
AN733_z2	0.85	4.95	1.03	5	543	1.1	543.1	1.1	574.4	6.7	701	29	0.735	-22.48	270	0.08789	0.21	0.761	1.5	0.0628	1.4	21.5	68	10.3		99.8	
AN733_z3	0.79	14.2	0.42	34	611.93	0.88	612.01	0.88	616.8	1.5	643.2	5	0.789	-4.86	1813	0.09968	0.15	0.8391	0.33	0.06114	0.23	80.44	6.3	13.13		99.87	
AN733_z4	0.61	24.4	0.34	72	384.2	1.8	384.3	1.8	920.4	2.1	1008.3	4.1	0.842	-12.31	3998	0.14702	0.22	1.4756	0.35	0.07283	0.2	66.5	1.08	28.77	3.6	99.95	
AN733_z5	0.59	5.27	0.22	23	398.4	1.1	398.5	1.1	420.3	2.2	542	11	0.631	-26.52	1331	0.06376	0.29	0.5128	0.63	0.05836	0.5	56.3	8.09	35.19	0.4	99.98	
Carb-C_Zr11_Pba	0.57	0.296	0.72	0	2.749	0.052	2.84	0.05	3.95	0.6	813	290	0.765	-99.66	40	0.0004265	1.9	0.00389	15	0.0662	14	1.2	91.9	6.8		99.9	
FYC-11	0.52	0.488	0.72	1	10.65	0.13	10.74	0.13	39.4	1.6	2992	54	0.774	-99.59	52	0.01654	1.3	0.0396	4.1	0.1736	3.3	1.6	86.8	11.4		99.8	
G21_Z1	0.46	312	0.57	543	2092	2.1	2092	2.1	2093.1	1.7	2094.2	1.6	0.928	-0.11	29996	0.038336	0.12	6.857	0.19	0.12978	0.083	90.5	9.4			99.9	
G21_Z2	0.62	83.5	0.2	415	2090	2	2090.1	2	2092.6	1.8	2095	1.9	0.896	-0.24	22114	0.38295	0.11	6.853	0.2	0.12984	0.1	83.6	15.8	0.4	99.8		
G21_Z3	0.54	255	0.19	1369	2085.2	1.9	2085.3	1.9	2086.9	1.6	2093.8	1.6	0.931	-0.41	74268	0.38191	0.11	6.829	0.18	0.12975	0.084	93.8	6.05		99.85		
G32_z1	0.29	9.24	0.36	25	704.6	1.2	704.7	1.2	906.8	2.5	1604.7	5.8	0.706	-56.09	1501	0.1155	0.17	1.576	0.41	0.09901	0.31	59.02	6.7	34.25		99.97	
G32_z2	0.25	9.57	0.23	42	174.84	0.3	174.94	0.3	173.56	0.85	156	10	0.652	-11.99	2634	0.027493	0.18	0.1864	0.54	0.0492	0.44	54.7	2.04	43.1		99.84	
G32_z3	0.31	8.67	0.25	34	172.78	0.18	172.87	0.18	171.34	0.66	151.5	8.2	0.716	-14.01	2094	0.027164	0.11	0.18382	0.42	0.0491	0.35	70.5	4.1	20.9	4.3	99.8	
G32_z4	0.21	7.81	0.22	36	176.27	0.25	176.37	0.25	175.71	0.62	168.2	7.2	0.686	-4.83	2268	0.027722	0.14	0.18953	0.39	0.04945	0.3	80.1	4.02	15.5		99.62	
G32_z5	0.35	40.1	0.36	112	1642.2	1.7	1642.3	1.7	1806.4	1.8	2001.5	2.1	0.894	-17.95	6408	0.290104	0.12	4.924	0.21	0.12315	0.11	85.07	0.5	13.4	0.9	99.87	
GUI22_26_z1	1.31	14.6	0.55	27	2014.3	0.21	201.5	0.21	2007	0.89	192.1	9.6	0.774	-4.85	1280	0.03174	0.1	0.2185	0.49	0.04996	0.41	71.6	11.18	17.13		99.91	
GUI22_26_z2	1.1	9.21	0.44	21	201.46	0.57	201.53	0.57	200.3	1.2	187	13	0.638	-7.74	1048	0.031745	0.29	0.2181	0.68	0.04985	0.54	57.18	13.2	29.6		99.98	
GUI22_26_z3	1.17	35.2	0.47	74	201.06	0.32	201.13	0.32	200.59	0.62	195.1	5.6	0.754	-3.06	3668	0.031681	0.16	0.21842	0.34	0.05002	0.24	78.4	1.5	19.8		99.7	
GUI22_26_z4	1.16	9.85	0.28	35	201.1	0.32	201.17	0.32	196.62	0.97	182	10	0.661	-10.39	1726	0.031687	0.16	0.2172	0.53	0.04975	0.44	64.8	5.59	29.6		99.99	
GUI22_26_z5	1.12	6.5	0.6	11	201.52	0.26	201.59	0.26	202.2	1.7	210	20	0.67	-4.07	552	0.031754	0.13	0.2203	0.93	0.05035	0.84	50.8	41.1	8.02		99.92	
GUI22_26_z7	1.12	18.7	0.66	28	201.34	0.3	201.41	0.3	201.11	0.83	198.4	8.8	0.614	-1.49	1426	0.031725	0.15	0.21903	0.45	0.0501	0.38	75.1	9.5	15.3		99.99	
GUI22_26_z8	1.13	3.96	0.42	10	201.71	0.26	201.78	0.26	201.9	1.9	204	22	0.696	-0.98	489	0.031785	0.13	0.22	1.1	0.05021	0.97	45.9	46.6	7.4		99.99	
GUI22_26_z9	1.07	9.75	0.68	14	201.6	0.22	201.68	0.22	202.5	1.3	213	14	0.676	-5.14	736	0.031768	0.11	0.2207	0.68	0.0504	0.61	64.2	29.6	6.1		99.9	
MD48_z1	0.97	89.2	0.27	325	201.69	0.61	201.77	0.61	201.31	0.64	196.9	2.8	0.943	-2.44	16684	0.031782	0.31	0.21926	0.35	0.050603	0.12	85.7				99.82	
MD48_z4	0.96	84.2	0.24	349	201.27	0.24	201.35	0.24	201.17	0.37	200	2.6	0.882	-0.66	17950	0.031715	0.12	0.21911	0.2	0.050129	0.11	92.4				99.8	
MD48_z5	1.04	141	0.33	429	198.44	0.68	198.51	0.68	196.66	0.69	201.3	2.5	0.962	-1.41	21665	0.03126	0.35	0.2161	0.38	0.050158	0.1	87.2				99.9	
MD48_z6	0.93	48.5	0.21	226	201.54	0.34	201.62	0.34	201.22	0.48	197.4	3.7	0.818	-2.09	11740	0.031758	0.17	0.21917	0.26	0.050075	0.15	78.57		1.3		99.75	
NMB_03_z1	1.91	62.4	0.19	333	201.17	0.17	201.22	0.17	201.15	0.35	200.9	2.7	0.925	-0.13	14016	0.031699	0.084	0.21909	0.19	0.05015	0.11	93.5		6.3		99.8	
Rad29_Zr37_Pba	0.33	0.676	1.19	1	2.808	0.035	2.907	0.034	3.79	0.39	685	200	0.76	-9.95	51	0.0004357	1.2	0.00374	10	0.0623	9.5	1.7	96.8	1.3		99.8	
RP113_z1	1.19	46.9	0.19	244	201.26	0.17	201.33	0.17	201.19	0.36	209.4	2.7	0.949	-3.9	11902	0.031712	0.086	0.21998	0.2	0.050334	0.11	88.4		5.7		99.6	
RP113_z2	1.08	28.9	0.38	76	201.05	0.18	201.13	0.18	201.46	0.46	206.2	4.3	0.822	-2.51	3837	0.031688	0.088	0.21946	0.25	0.050265	0.						

SL18_b1	0.02	38.2	0.4	96	198.67	0.18	198.78	0.18	199.02	0.43	203.2	3.5	0.942	2.22	6385	0.031299	0.093	0.21654	0.24	0.050199	0.15	78.6	0.5	20.83		99.93
SL18_b2	0.01	99.5	0.18	552	198.67	0.17	198.77	0.17	198.79	0.32	200.3	2.3	0.946	0.81	36566	0.031298	0.086	0.21626	0.18	0.050137	0.094	94.5	5.4			99.9
SL18_b3	0.01	76.7	0.39	198	198.67	0.21	198.77	0.21	199.1	0.47	204.2	4.1	0.851	2.72	13137	0.031298	0.11	0.21663	0.26	0.050222	0.17	68.8		31.07		99.87
SL18_b4	0.01	129	0.19	683	198.71	0.18	198.81	0.18	199.03	0.33	202.8	2.4	0.909	2.01	45175	0.031305	0.094	0.21654	0.18	0.050191	0.098	91.8	8.02			99.82
SL18_b5	0.02	109	0.32	339	198.45	0.22	198.55	0.22	198.53	0.35	199	0	1.189	0.52	22434	0.031263	0.11	0.21594	0.2	0	0	85		14.85		99.85
SL18_b7	0.01	66.2	0.2	332	199.08	0.28	199.18	0.28	199.38	0.57	202.9	5.7	0.637	1.9	21969	0.031364	0.14	0.21696	0.31	0.05019	0.25	56.8		43.1		99.9
SL18_b9	0.01	114	0.17	674	198.53	0.22	198.64	0.22	198.92	0.34	203.6	2.3	0.92	2.48	44616	0.031276	0.11	0.21642	0.19	0.050208	0.092	93.9	5.97			99.87
SL18_b12	0.01	88.5	0.28	316	162.47	0.32	162.57	0.32	165.06	0.41	202.4	2.6	0.93	19.72	20918	0.025523	0.2	0.17651	0.27	0.050181	0.11	78.4		21.4		99.8
SL18_b13	0.01	88.5	0.28	316	197.2	1.3	197.3	1.3	197.6	1.3	202.4	2.6	0.988	2.56	20918	0.03106	0.69	0.2148	0.71	0.050181	0.11	78.4		21.4		99.8
SL18_b14	0.01	65	0.19	349	198.72	0.57	198.83	0.57	199	0.62	202.3	3.2	0.916	1.77	23130	0.031306	0.29	0.21651	0.34	0.05018	0.13	86.1		13.83		99.93
SU1201_21	2.31	9.08	0.11	80	201.13	0.23	201.17	0.23	201.01	0.64	199.5	6.4	0.74	-0.81	3153	0.031692	0.12	0.21691	0.35	0.05012	0.27	78.3	2.03	19.06		99.39
SU1201_22	1.81	1.41	0.22	6	201.2	0.45	201.25	0.45	199	3.9	173	47	0.644	-16.18	294	0.031703	0.23	0.2165	2.2	0.0496	2	20.7	54.12	25.1		99.92
SU1201_23	2.79	40.6	0.19	209	201.65	0.18	201.68	0.18	201.6	0.42	201	3.7	0.819	-0.34	7538	0.031776	0.093	0.21933	0.23	0.050151	0.16	83.1		11.2	5.2	99.5
SU1201_24	1.47	9.45	0.28	34	201.31	0.27	201.37	0.27	199.15	0.8	173.7	8.6	0.654	-15.9	1593	0.031721	0.14	0.21669	0.44	0.04957	0.37	75.8	7.6	11.8	4.6	99.8
SU1201_25	1.92	11.1	0.25	44	201.66	0.25	201.7	0.25	200.07	0.78	181.4	8.4	0.664	-11.16	1850	0.031776	0.13	0.21779	0.43	0.04973	0.36	73.6	5.5	16.08	4.5	99.68
SU1201_26	2.28	6.11	0.16	38	203.22	0.31	203.26	0.31	198.2	1.1	139	13	0.703	-46.55	1527	0.032027	0.16	0.2155	0.64	0.04983	0.54	55.96	6.1	37.9		99.96
SU1201_27	2.74	8.46	0.16	53	201.96	0.21	201.98	0.21	200.1	0.78	178.2	8.3	0.771	-13.31	1944	0.031825	0.1	0.21783	0.43	0.04966	0.36	71.8	4.8	18.8	4.5	99.9
SU1201_28	1.46	5.42	0.15	37	200.95	0.2	201.01	0.2	199.61	0.9	184	10	0.706	-9.31	1730	0.031664	0.1	0.2172	0.49	0.04978	0.43	70.6	6.02	18.89	4.4	99.91
SU1201_29	1.86	2.71	0.15	19	203.53	0.26	203.58	0.26	199.6	1.6	154	18	0.628	-32.52	807	0.032076	0.13	0.2172	0.87	0.04914	0.79	55.12	21	24		100.12
SU1201_20	2.05	0.807	0.17	5	203.93	0.64	203.97	0.64	195.3	5.8	93	72	0.762	-119.95	209	0.03214	0.32	0.2121	3.3	0.0479	3	11.4	54.68	33.88		99.95
SU1201_211	2.62	6.66	0.12	54	201.53	0.21	201.55	0.21	202.68	0.98	216	10	0.805	6.7	1965	0.031757	0.1	0.2209	0.53	0.05048	0.45	62.97	4.1	32.8		99.87
SU1201_212	3	7.95	0.23	34	200.75	0.62	200.77	0.62	193.2	1.8	102	20	0.591	-97.17	1214	0.03163	0.32	0.2096	1	0.04807	0.86	34.6	5.9	59.11		99.61
SU1201_213	2.74	11.3	0.19	60	201.25	0.22	201.27	0.22	200.44	0.7	191	7.7	0.592	-5.36	2203	0.031711	0.11	0.21824	0.38	0.04994	0.33	82.66	4.4	12.9		99.96
SU1201_214	2.93	5.13	1.87	3	202.32	0.9	202.33	0.9	214.8	8.4	354	90	0.764	42.9	113	0.03188	0.45	0.236	4.3	0.0536	4	5.9	90.9	3.1		99.9
SU1201_215	3.46	3.52	0.19	18	200.65	0.39	197.1	2.3	154	28	0.506	-29.98	610	0.031615	0.2	0.2142	1.3	0.04916	1.2	42.06	27.5	30.2		99.76		
SU1201_216	3.2	3.45	0.16	22	201.01	0.28	201.02	0.28	195.3	1.9	127	23	0.757	-58.78	746	0.031674	0.14	0.2121	1.1	0.04858	0.96	41.4	18.3	40.1		99.8
SU1201_217	2.72	5.12	0.14	37	201.25	0.2	201.28	0.2	198.85	0.91	170	10	0.701	-18.08	1374	0.031712	0.099	0.2163	0.51	0.0495	0.44	75.4	10.1	14.4		99.9
SU1201_218	2.01	1.6	0.13	13	200.98	0.25	201.02	0.25	194.2	2.2	113	27	0.56	-78.21	542	0.031668	0.13	0.2108	1.2	0.0483	1.2	52.18	42.1	5.58		99.86
SU1201_220	1.86	1.15	0.15	8	200.94	0.6	200.99	0.6	194.1	3.8	111	47	0.489	-80.73	350	0.031661	0.3	0.2106	2.1	0.04826	2	24.4	45.09	30.08		99.57
TRV-S_zr13_Pp	0.17	0.359	1.48	0	2.751	0.083	2.854	0.08	0.9	1.1	-4250	8100	0.793	100.06	33	0.000427	3	0.0009	120	0.015	120	73.5	25.68		99.18	
UA2294-23	1.48	0.12	0.92	0	14.9	1.2	15	1.2	64	13	2870	260	0.759	99.48	22	0.000232	7.9	0.066	21	0.206	16	94.2	5.11		99.31	
UA2294-27	1.89	0.193	2.47	0	19.8	2.8	19.8	2.8	103	30	3201	350	0.758	99.38	20	0.00307	14	0.107	31	0.253	22	96.02	3.45		99.47	
UA-2	0.28	2.14	0.36	6	171.34	0.45	171.43	0.45	823.8	2.9	3648.5	5.1	0.835	95.3	308	0.026935	0.27	1.2509	0.52	0.337	0.33	13.7	33.4	51.9	0.8	99.6
UA-3	0.06	5.04	0.17	3	75.93	0.25	76.04	0.25	351	2.4	3202.3	9.1	0.795	97.63	178	0.011849	0.33	0.413	0.8	0.2529	0.58	10	63.4	26.5		99.9
UA-5	0.55	2.32	0.24	10	67.32	0.12	67.41	0.12	460.5	1.1	3895.6	2.8	0.841	98.27	452	0.010498	0.17	0.5738	0.31	0.39661	0.18	29.4	34.3	34.5	1.6	99.8
UA-6	1.04	0.414	0.21	2	7.639	0.047	7.715	0.046	23.91	0.6	2297	36	0.817	99.67	108	0.0011857	0.62	0.02383	2.5	0.1458	2.1	3.66	55.09	41.2		99.95
UA-7	0.44	0.041	0.22	0	17.05	0.7	17.15	0.69	16.9	8.8	1	1200	0.775	-1883.97	28	0.00265	4.1	0.0168	52	0.046	49	0.87	85.69	13.4		99.96
UA-7a	1.2	0.0933	0.4	0	11.8	0.51	11.87	0.5	57.1	6	3045	130	0.769	99.61	27	0.001832	4.3	0.0579	11	0.229	8	0.7	89.48	9.7		99.88
UA-8	0.41	0.563	0.25	2	33.06	0.18	33.16	0.18	226	2.1	3714	10	0.801	99.11	123	0.005142	0.53	0.2493	1	0.3519	0.68	4.87	60.29	34.6		99.76
UA-9	0.53	1.14	0.21	5	194.6	0.44	194.69	0.44	1016.3	2.3	3936	3.4	0.808	95.06	253	0.030648	0.23	1.2708	0.36	0.40741	0.22	18.1	62.4	18.3	1.07	99.87
UA-12	0.5	0.219	0.22	1	13.79	0.14	13.89	0.13	79	1.7	3328	24	0.794	99.59	65	0.002142	0.98	0.0809	2.2	0.2739	1.5	2.3	75.41	21.23		99.94
UA-12a	1.16	0.0739	0.41	0	7.2	0.36	7.28	0.36	16.4	4.3	1727	420	0.762	99.58	26	0.001118	5	0.0163	27	0.106	23	0.76	93.13	6.1		99.99
UA-13	0.43	0.314	0.22	1	33.07	0.24	33.17	0.24	225.4	2.8	3709	14	0.779	99.11	85	0.005144	0.72	0.2485	1.4	0.3506	0.93	3.1	70.27	26.5		99.87
UA-14	0.68	0.423	0.45	1	5.501	0.049	5.588	0.048	6.95	0.61	544	180	0.773	98.99	68	0.0008536	0.88	0.00687	8.7	0.0584	8.1	2.49	84.6	12.8		99.89
UA-15	1.61	0.0581	0.39	0	7.24	0.49	7.3	0.49	20.5	5.8	2123	410	0.764	99.66	23	0.001124	6.8	0.0204	28	0.132	23	0.7	93.76	5.5		99.96
UA-19	0.77	0.105	0.44	0	5.83	0.2	5.92	0.2	8.9	2.5	937	530	0.772	99.38	30	0.000905	3.4	0.0088	28	0.07	26	0.8	88.99	10.14		99.93
UT2033_z14	0.69	0.034	0.42	0	8.7	1	8.8	1	20	14	1788	1100	0.796	99.51	21	0.00135	12	0.02	68	0.109	59	0.5	73.83	25.67		100
UT-1	-0.03	0.047	0.19	0	13.55	0.4	13.66	0.39	42.3	4.9	2305	170	0.78	99.41	32											

a. Th contents calculated from radiogenic ^{208}Pb and ^{230}Th -corrected $^{206}\text{Pb}/^{238}\text{U}$ date of the sample, assuming concordance between U-Pb, Th-Pb systems.

b Total mass of radioogenic Pb.

c Total mass of common Pb.

d Ratio of radiogenic Pb (including ^{208}Pb) to common Pb

e Isotopic dates calculated using $\lambda 238 = 1.55125E-10$ (Jaffey et al. 1971) and $\lambda 235 = 9.8485E-10$ (Jaffey et al. 1971)

f Corrected for initial Th/U disequilibrium using radiogenic ^{208}Pb and $\text{Th}/\text{U}[\text{magma}] = 3.5000$.

$$g \% \text{ discordance} = 100 - (100 * (206\text{Pb}/238\text{U date}) / (207\text{Pb}/206\text{Pb}))$$

h Measured ratio corrected for fractionation and spike cont

i Measured ratios corrected for fractionation, tracer and blank

Table S2: Isotope composition of total procedural blanks measured in the University of Geneva,
Princeton University and ETH Zürich labs

Date	$^{206}\text{Pb}/^{204}\text{Pb}$	1σ (%)	$^{207}\text{Pb}/^{204}\text{Pb}$	1σ (%)	$^{208}\text{Pb}/^{204}\text{Pb}$	1σ (%)
UNIGE						
2008-2015	18.10	2.10	15.35	3.10	38.01	3.00
2016-2021	17.10	1.20	15.07	0.70	36.17	0.70
PU	18.63	1.71	15.80	1.47	38.54	0.98
ETH	17.49	3.32	14.69	3.75	35.55	3.72

Table S3: U-Pb isotope results of ET100 solution on the TRITON TIMS at University of Geneva over a period from 2008 to 2016.

	Composition				Isotopic Ratios								Dates (Ma)								
	total																				
Fraction	Pb*	Pbc	mass	Pb(pg)	Pb*/Pbc	206Pb/204Pb	207Pb/206Pb	±2σ	207Pb/235U	206Pb/238U	±2σ	Corr. coef.	207Pb/206Pb	±2σ	207Pb/235U	±2σ	206Pb/238U	±2σ			
	Running #	(pg)	a	(pg)	b	Pb(pg)	Pbc	d	204Pb	206Pb	e	235U	238U	e	206Pb	f	206Pb	235U	f	238U	abs
ET100 SEM #2 2008-2009																					
4363	1	105.0	0.95	105.97	110	7522	0.04805	0.11	0.10379	0.15	0.015675	0.09	0.69	100.4	2.6	100.27	0.15	100.263	0.090		
4364	2	26.4	0.73	27.10	36	2466	0.04804	0.32	0.10381	0.35	0.015681	0.08	0.48	100.0	7.5	100.29	0.33	100.299	0.083		
4365	3	95.4	1.11	96.54	86	5887	0.04804	0.15	0.10374	0.17	0.015669	0.07	0.45	100.3	3.7	100.23	0.17	100.223	0.073		
4367	4	131.0	7.15	137.67	18	1259	0.04817	0.61	0.10404	0.68	0.015673	0.20	0.48	106.0	15.0	100.50	0.65	100.250	0.200		
4368	5	78.9	0.43	79.37	183	12491	0.04802	0.14	0.10365	0.15	0.015661	0.07	0.36	99.4	3.4	100.14	0.15	100.175	0.064		
4369	6	117.0	0.59	117.47	197	13388	0.04812	0.24	0.10379	0.32	0.015649	0.13	0.75	104.2	5.7	100.27	0.31	100.100	0.120		
4434	7	529.0	1.97	530.83	268	18240	0.04803	0.05	0.10369	0.14	0.015665	0.12	0.91	99.7	1.5	100.18	0.14	100.200	0.120		
4443	8	491.0	1.81	492.68	271	18445	0.04806	0.08	0.10379	0.21	0.015669	0.17	0.90	101.3	2.1	100.27	0.20	100.220	0.160		
4444	9	617.0	1.97	618.92	314	21366	0.04803	0.06	0.10367	0.13	0.015664	0.10	0.86	99.5	1.6	100.16	0.12	100.192	0.095		
4445	10	573.0	1.93	574.75	297	20217	0.04806	0.10	0.10383	0.19	0.015675	0.12	0.87	101.3	2.5	100.30	0.18	100.260	0.120		
4505	11	559.0	1.41	560.06	396	26970	0.04806	0.04	0.10374	0.10	0.015662	0.07	0.88	101.1	1.2	100.22	0.10	100.180	0.072		
4506	12	735.0	1.84	737.10	399	27122	0.04803	0.05	0.10378	0.12	0.015678	0.08	0.89	99.9	1.4	100.26	0.11	100.280	0.081		
4507	13	719.0	1.82	720.96	395	26885	0.04802	0.05	0.10365	0.13	0.015662	0.10	0.92	99.2	1.3	100.14	0.13	100.180	0.100		
ET100 SEM #2 2010																					
7013	14	40.6	1.44	42.04	28	1942	0.04799	0.40	0.10355	0.44	0.015655	0.08	0.48	98.0	9.6	100.05	0.41	100.137	0.079		
7014	15	105.0	0.89	105.77	117	7987	0.04799	0.12	0.10356	0.13	0.015657	0.05	0.34	97.9	2.9	100.06	0.12	100.150	0.048		
7049	16	84.1	0.89	84.99	95	6464	0.04798	0.12	0.10362	0.17	0.015670	0.09	0.68	97.3	3.0	100.12	0.16	100.234	0.087		
7802	17	131.0	1.13	131.72	116	7913	0.04796	0.10	0.10357	0.12	0.015669	0.05	0.37	96.4	2.6	100.07	0.11	100.225	0.044		
7806	18	116.0	1.02	117.30	114	7770	0.04802	0.10	0.10367	0.12	0.015664	0.06	0.55	99.2	2.4	100.16	0.11	100.195	0.058		
7801	19	26.7	0.5	27.21	53	3649	0.04804	0.22	0.10369	0.26	0.015662	0.07	0.58	100.1	5.3	100.18	0.24	100.181	0.073		
ET100 SEM #2 June 2011																					
8081	20	29.9	0.59	30.45	50	3455	0.04806	0.56	0.10378	0.59	0.015670	0.06	0.51	101.0	13.0	100.26	0.56	100.230	0.055		
8082	21	52.2	0.69	52.93	76	5198	0.04809	0.40	0.10380	0.43	0.015662	0.10	0.38	102.5	9.4	100.28	0.41	100.180	0.100		
8083	22	83.6	0.75	84.35	111	7570	0.04803	0.27	0.10372	0.29	0.015669	0.06	0.44	99.7	6.3	100.20	0.28	100.225	0.062		
8084	23	21.5	0.62	22.08	35	2382	0.04825	0.83	0.10424	0.86	0.015677	0.07	0.48	110.0	20.0	100.69	0.83	100.275	0.071		
8085	24	50.5	0.61	51.13	82	5630	0.04803	0.35	0.10368	0.37	0.015663	0.05	0.37	99.7	8.3	100.17	0.35	100.186	0.047		
8086	25	80.8	0.71	81.49	114	7804	0.04806	0.25	0.10383	0.28	0.015675	0.07	0.42	101.3	6.0	100.30	0.26	100.264	0.073		
8087	26	20.3	0.53	20.82	38	2600	0.04811	0.76	0.10395	0.79	0.015678	0.07	0.42	104.0	18.0	100.41	0.75	100.281	0.069		
8428	27	65.3	0.66	66.01	99	6745	0.04800	0.29	0.10364	0.32	0.015666	0.07	0.43	98.3	7.0	100.13	0.30	100.204	0.070		
8429	28	70.3	1.1	71.36	64	4368	0.04802	0.45	0.10364	0.47	0.015661	0.06	0.47	99.0	11.0	100.13	0.45	100.176	0.059		
ET100 SEM #2 March 2012																					
9454	29	76.3	0.82	77.09	93	6377	0.04788	0.31	0.10335	0.32	0.015663	0.03	0.48	92.2	7.3	99.87	0.31	100.187	0.030		
9456	30	33.8	0.39	34.23	87	5910	0.04800	0.33	0.10368	0.35	0.015675	0.04	0.44	98.0	7.9	100.17	0.33	100.262	0.040		
9457	31	60.4	0.62	60.99	98	6690	0.04803	0.29	0.10369	0.31	0.015665	0.04	0.46	99.6	7.0	100.18	0.30	100.203	0.037		
9458	32	55.2	0.46	55.69	121	8236	0.04802	0.24	0.10367	0.25	0.015666	0.03	0.46	99.1	5.7	100.16	0.24	100.208	0.028		
9459	33	47.1	0.44	47.58	106	7251	0.04804	0.28	0.10370	0.31	0.015662	0.06	0.48	100.2	6.7	100.18	0.29	100.184	0.054		
9460	34	35.8	0.46	36.25	77	5294	0.04803	0.37	0.10375	0.39	0.015674	0.03	0.52	99.6	8.8	100.23	0.37	100.258	0.034		
9461	35	56.8	0.67	57.47	85	5773	0.04802	0.34	0.10371	0.35	0.015670	0.03	0.42	99.3	8.0	100.19	0.33	100.231	0.033		
9462	36	46.7	0.49	47.20	96	6522	0.04802	0.30	0.10370	0.32	0.015668	0.03	0.46	99.3	7.2	100.18	0.30	100.217	0.030		
ET100 SEM #3 April 2012																					
9525	37	59.6	0.48	60.03	125	8508	0.04805	0.23	0.10373	0.24	0.015665	0.02	0.50	100.6	5.5	100.21	0.23	100.200	0.019		
9526	38	70.4	0.51	70.94	139	9464	0.04808	0.21	0.10383	0.22	0.015670	0.02	0.48	102.0	5.0	100.30	0.21	100.230	0.019		
9527	39	55.2	0.47	55.62	119	8092	0.04807	0.25	0.10381	0.27	0.015671	0.03	0.56	101.5	6.1	100.29	0.26	100.240	0.031		
9529	40	59.8	0.46	60.25	131	8921	0.04806	0.22	0.10377	0.23	0.015667	0.02	0.54	101.1	5.2	100.25	0.22	100.216	0.017		
9530	41	97.4	0.63	98.03	155	10587	0.04804	0.19	0.10373	0.20	0.015668	0.02	0.55	100.2	4.5	100.22	0.19	100.216	0.021		

9538	42	58.6	0.42	59.03	139	9496	0.04801	0.21	0.10364	0.22	0.015664	0.02	0.52	98.6	4.9	100.13	0.21	100.195	0.020
9539	43	61.2	0.43	61.61	143	9755	0.04806	0.23	0.10376	0.27	0.015665	0.04	0.89	101.1	5.6	100.24	0.25	100.201	0.035
9540	44	58.5	0.4	58.88	144	9852	0.04804	0.20	0.10372	0.21	0.015666	0.02	0.49	100.1	4.8	100.20	0.20	100.205	0.017
9541	45	55.2	0.44	55.61	125	8538	0.04803	0.23	0.10371	0.24	0.015668	0.02	0.53	99.7	5.4	100.20	0.23	100.220	0.016
ET100 SEM #3 November 2012																			
10148	46	85.6	0.57	86.16	151	10301	0.04797	0.20	0.10355	0.21	0.015663	0.03	0.51	96.7	4.7	100.05	0.20	100.189	0.024
10149	47	88.6	0.61	89.22	146	9947	0.04795	0.20	0.10349	0.21	0.015663	0.02	0.44	95.5	4.8	100.00	0.20	100.184	0.022
10156	48	103.0	0.61	103.14	168	11469	0.04805	0.17	0.10374	0.19	0.015667	0.02	0.48	100.6	4.2	100.23	0.18	100.213	0.022
10215	49	72.6	0.51	73.14	143	9773	0.04797	0.22	0.10360	0.24	0.015669	0.04	0.42	96.9	5.3	100.09	0.22	100.227	0.037
10216	50	78.2	0.55	78.77	143	9776	0.04790	0.22	0.10344	0.24	0.015668	0.04	0.44	93.4	5.3	99.94	0.23	100.216	0.041
10217	51	68.4	0.45	68.89	153	10450	0.04797	0.20	0.10360	0.21	0.015670	0.03	0.43	96.8	4.8	100.10	0.20	100.234	0.033
10226	52	73.9	0.46	74.32	159	10853	0.04804	0.19	0.10374	0.21	0.015669	0.03	0.44	100.3	4.6	100.23	0.20	100.224	0.033
ET100 SEM #3 April 2013																			
10355	53	103.0	0.81	103.84	128	8716	0.04794	0.23	0.10350	0.24	0.015664	0.04	0.36	95.3	5.5	100.00	0.23	100.196	0.037
10356	54	92.7	0.78	93.47	118	8084	0.04806	0.26	0.10378	0.28	0.015668	0.08	0.44	101.1	6.1	100.26	0.27	100.221	0.083
10357	55	95.9	0.74	96.64	129	8814	0.04795	0.22	0.10346	0.25	0.015656	0.07	0.58	95.7	5.2	99.96	0.24	100.142	0.073
10358	56	87.6	0.75	88.33	117	8001	0.04796	0.25	0.10354	0.28	0.015667	0.07	0.45	96.0	6.0	100.04	0.26	100.211	0.073
10359	57	96.5	0.73	97.25	133	9044	0.04802	0.22	0.10372	0.23	0.015672	0.05	0.38	99.4	5.2	100.21	0.22	100.242	0.045
10360	58	93.6	0.74	94.30	127	8676	0.04804	0.23	0.10370	0.25	0.015664	0.04	0.42	100.0	5.6	100.18	0.24	100.191	0.044
10361	59	86.2	0.7	86.87	124	8434	0.04802	0.24	0.10378	0.26	0.015682	0.06	0.44	99.1	5.7	100.26	0.25	100.305	0.055
10362	60	92.0	0.72	92.67	129	8772	0.04805	0.22	0.10369	0.24	0.015659	0.05	0.36	100.6	5.3	100.18	0.23	100.160	0.054
ET100 SEM #3 July 2013																			
10551	61	99.2	0.69	99.92	143	9765	0.04796	0.20	0.10350	0.22	0.015660	0.02	0.49	96.0	4.9	100.00	0.21	100.171	0.023
10552	62	93.3	0.75	94.10	124	8473	0.04807	0.23	0.10381	0.25	0.015670	0.02	0.52	101.5	5.6	100.28	0.24	100.232	0.022
10553	63	128.0	0.67	128.34	192	13079	0.04804	0.15	0.10372	0.17	0.015666	0.02	0.49	100.1	3.7	100.20	0.16	100.207	0.020
10554	64	94.6	0.62	95.23	154	10479	0.04799	0.19	0.10361	0.20	0.015667	0.02	0.50	97.5	4.6	100.10	0.19	100.214	0.020
10556	65	83.1	0.6	83.69	138	9405	0.04803	0.21	0.10366	0.23	0.015661	0.03	0.49	99.5	5.0	100.15	0.21	100.175	0.028
10557	66	80.1	0.54	80.69	149	10132	0.04803	0.19	0.10369	0.20	0.015666	0.02	0.43	99.5	4.6	100.18	0.19	100.207	0.023
10842	67	68.6	0.39	68.99	177	12087	0.04781	0.19	0.10314	0.22	0.015653	0.07	0.51	88.9	4.5	99.67	0.21	100.122	0.071
10844	68	74.2	0.46	74.61	162	11074	0.04772	0.24	0.10298	0.27	0.015660	0.06	0.52	84.1	5.8	99.52	0.26	100.170	0.061
ET100 SEM #3 May 2014																			
11120	69	47.6	0.23	47.84	205	13980	0.04798	0.16	0.10358	0.17	0.015666	0.03	0.39	97.1	3.8	100.08	0.16	100.206	0.027
11130	70	82.2	0.35	82.59	238	16196	0.04806	0.14	0.10374	0.14	0.015662	0.02	0.26	101.1	3.3	100.22	0.14	100.182	0.023
11135	71	58.9	0.29	59.18	205	13988	0.04799	0.16	0.10359	0.16	0.015664	0.03	0.16	97.4	3.8	100.09	0.15	100.196	0.027
11139	72	68.3	0.29	68.59	232	15827	0.04800	0.18	0.10362	0.22	0.015663	0.04	0.80	98.3	4.4	100.11	0.21	100.186	0.042
11217	73	68.4	0.29	68.68	238	16257	0.04804	0.13	0.10373	0.15	0.015667	0.04	0.50	100.3	3.1	100.22	0.14	100.212	0.037
11229	74	55.3	0.26	55.59	211	14377	0.04801	0.15	0.10365	0.16	0.015666	0.02	0.38	98.7	3.5	100.14	0.15	100.207	0.024
11232	75	48.6	0.24	48.86	203	13874	0.04801	0.16	0.10361	0.17	0.015659	0.03	0.44	98.8	3.8	100.11	0.16	100.163	0.031
11247	76	49.2	0.25	49.42	198	13517	0.04792	0.16	0.10344	0.17	0.015663	0.03	0.48	94.3	3.8	99.95	0.16	100.184	0.029
11248	77	48.0	0.23	48.20	212	14487	0.04804	0.15	0.10370	0.17	0.015662	0.03	0.54	100.3	3.6	100.18	0.16	100.178	0.028
ET100 SEM #3 October 2014																			
11489	78	102.0	0.49	102.87	209	14242	0.04804	0.14	0.10376	0.16	0.015671	0.04	0.43	100.4	3.4	100.24	0.15	100.240	0.042
11490	79	70.9	0.37	71.31	192	13091	0.04802	0.17	0.10362	0.20	0.015659	0.06	0.48	99.1	4.2	100.12	0.19	100.160	0.057
11491	80	27.7	0.15	27.83	182	12396	0.04795	0.23	0.10354	0.27	0.015667	0.06	0.63	95.8	5.6	100.03	0.26	100.215	0.059
ET100 SEM #4 December 2014																			
11542	81	59.9	0.52	60.47	115	7845	0.04795	0.27	0.10348	0.28	0.015660	0.05	0.39	95.7	6.4	99.99	0.27	100.167	0.046
11543	82	72.8	0.39	73.24	185	12634	0.04798	0.17	0.10357	0.18	0.015663	0.03	0.46	97.1	4.0	100.06	0.17	100.190	0.027
11544	83	127.0	0.62	127.38	204	13925	0.04803	0.18	0.10370	0.22	0.015665	0.05	0.81	99.8	4.4	100.19	0.21	100.202	0.047
11545	84	31.6	0.21	31.76	153	10439	0.04797	0.21	0.10350	0.23	0.015655	0.03	0.57	96.8	5.1	100.00	0.22	100.134	0.030

11546	85	123.0	0.63	123.95	194	13245	0.04802	0.17	0.10363	0.19	0.015658	0.04	0.61	99.3	4.0	100.12	0.18	100.157	0.035
11547	86	38.6	0.31	38.92	126	8582	0.04792	0.27	0.10351	0.29	0.015675	0.05	0.51	94.1	6.4	100.02	0.28	100.264	0.045
11549	87	81.3	0.44	81.74	186	12711	0.04802	0.16	0.10369	0.18	0.015669	0.03	0.39	99.0	4.0	100.18	0.17	100.225	0.033
11569	88	116.0	0.9	116.69	128	8732	0.04803	0.24	0.10372	0.26	0.015668	0.06	0.48	99.9	5.7	100.21	0.25	100.220	0.061
11570	89	86.5	0.67	87.13	129	8810	0.04795	0.24	0.10341	0.27	0.015648	0.09	0.45	95.7	5.7	99.92	0.25	100.094	0.089
11582	90	89.2	0.41	89.58	216	14703	0.04793	0.15	0.10346	0.16	0.015661	0.04	0.46	94.8	3.6	99.96	0.16	100.177	0.037
11586	91	103.0	0.45	103.64	230	15676	0.04804	0.15	0.10375	0.17	0.015671	0.03	0.56	100.1	3.6	100.23	0.16	100.235	0.034
11590	92	78.5	0.35	78.88	226	15406	0.04799	0.14	0.10357	0.15	0.015658	0.03	0.46	97.9	3.4	100.06	0.15	100.153	0.031
11594	93	80.7	0.43	81.08	187	12782	0.04790	0.20	0.10338	0.20	0.015659	0.04	-0.01	93.5	4.8	99.89	0.19	100.160	0.043
11600	94	93.7	0.45	94.10	209	14222	0.04794	0.16	0.10348	0.17	0.015663	0.03	0.42	95.2	3.9	99.99	0.16	100.185	0.029

ET100 SEM #4 April 2015

11840	95	29.9	0.22	30.10	133	8595	0.04796	0.10	0.10347	0.11	0.015656	0.03	0.52	96.0	2.4	99.98	0.11	100.144	0.025
11841	96	24.9	0.21	25.13	116	7512	0.04799	0.09	0.10351	0.10	0.015651	0.02	0.30	97.6	2.3	100.01	0.10	100.114	0.022
11842	97	31.9	0.25	32.18	128	8270	0.04796	0.09	0.10348	0.10	0.015657	0.02	0.08	96.0	2.3	99.99	0.09	100.152	0.024
11844	98	26.5	0.21	26.70	125	8064	0.04811	0.13	0.10377	0.13	0.015650	0.04	0.01	103.7	3.1	100.25	0.12	100.104	0.036
11919	99	32.1	0.16	32.22	198	12781	0.04797	0.07	0.10352	0.09	0.015658	0.02	0.47	96.8	1.8	100.02	0.08	100.156	0.020
11921	100	36.8	0.19	37.02	198	12796	0.04803	0.08	0.10364	0.10	0.015657	0.03	0.56	99.8	2.1	100.13	0.10	100.147	0.026
11922	101	36.0	0.17	36.18	212	13644	0.04808	0.08	0.10374	0.09	0.015656	0.02	0.41	102.0	2.0	100.22	0.08	100.143	0.019
11924	102	46.6	0.32	46.88	143	9247	0.04803	0.09	0.10365	0.11	0.015658	0.03	0.51	99.7	2.3	100.14	0.11	100.157	0.031
11985	103	72.2	0.32	72.49	223	14372	0.04806	0.06	0.10372	0.09	0.015660	0.04	0.65	101.2	1.6	100.21	0.09	100.166	0.042
11986	104	74.0	0.33	74.37	228	14687	0.04804	0.08	0.10376	0.10	0.015670	0.05	0.65	100.4	1.9	100.24	0.10	100.230	0.045
11987	105	66.3	0.29	66.60	229	14736	0.04809	0.08	0.10372	0.10	0.015648	0.04	0.63	102.9	1.9	100.20	0.10	100.089	0.037
11989	106	65.9	0.29	66.19	227	14642	0.04808	0.08	0.10368	0.10	0.015649	0.04	0.46	101.9	2.1	100.17	0.09	100.097	0.036
11990	107	73.1	0.34	73.45	214	13796	0.04805	0.10	0.10365	0.12	0.015653	0.04	0.52	100.5	2.5	100.14	0.11	100.122	0.040
11991	108	73.5	0.38	73.92	192	12395	0.04806	0.08	0.10363	0.05	0.015645	0.03	-1.54	101.2	2.0	100.12	0.05	100.071	0.026
11995	109	64.8	0.43	65.22	151	9744	0.04812	0.10	0.10375	0.12	0.015644	0.03	0.82	104.3	2.4	100.23	0.12	100.064	0.032

ET100 SEM #4 June 2015

11998	110	43.0	0.27	43.29	161	10366	0.04802	0.07	0.10359	0.13	0.015652	0.09	0.78	99.4	1.9	100.09	0.12	100.120	0.092
11999	111	41.9	0.26	42.17	160	10315	0.04799	0.08	0.10350	0.10	0.015651	0.03	0.64	97.5	1.9	100.01	0.09	100.110	0.030
12000	112	39.5	0.26	39.76	154	9915	0.04794	0.12	0.10346	0.14	0.015658	0.04	0.57	95.4	2.9	99.96	0.13	100.155	0.036
12003	113	41.3	0.26	41.60	162	10434	0.04810	0.09	0.10371	0.12	0.015645	0.03	0.64	103.0	2.3	100.19	0.11	100.074	0.034
12004	114	38.7	0.24	38.93	161	10398	0.04805	0.07	0.10362	0.10	0.015649	0.04	0.68	100.6	1.8	100.12	0.09	100.097	0.037
12005	115	46.6	0.29	46.86	160	10331	0.04801	0.10	0.10358	0.13	0.015655	0.04	0.72	98.7	2.5	100.08	0.12	100.136	0.037
12006	116	36.7	0.24	36.91	153	9844	0.04806	0.11	0.10366	0.13	0.015652	0.03	0.71	100.9	2.7	100.15	0.13	100.116	0.034
12015	117	53.8	0.32	54.08	167	10783	0.04800	0.07	0.10355	0.10	0.015652	0.03	0.57	98.3	1.9	100.05	0.09	100.120	0.031
12018	118	52.3	0.32	52.62	163	10521	0.04805	0.09	0.10367	0.11	0.015655	0.03	0.54	100.6	2.2	100.16	0.10	100.139	0.033
12256	119	25.3	0.22	25.52	113	7299	0.04802	0.08	0.10357	0.10	0.015649	0.02	0.56	99.3	2.1	100.07	0.09	100.099	0.019
12257	120	40.0	0.27	40.23	150	9697	0.04804	0.08	0.10361	0.09	0.015649	0.03	0.55	100.2	1.9	100.10	0.09	100.095	0.025

ET100 SEM #5 December 2015

12345	121	37.1	0.23	37.37	159	10247	0.04804	0.10	0.10365	0.23	0.015657	0.20	0.90	100.0	2.4	100.14	0.22	100.150	0.200
12346	122	44.2	0.27	44.42	167	10745	0.04802	0.09	0.10353	0.11	0.015644	0.05	0.57	99.2	2.2	100.03	0.10	100.065	0.050
12347	123	36.4	0.22	36.64	162	10481	0.04811	0.10	0.10373	0.14	0.015644	0.06	0.68	103.7	2.6	100.21	0.13	100.067	0.055
12348	124	36.6	0.27	36.89	137	8830	0.04815	0.11	0.10389	0.15	0.015657	0.07	0.65	105.3	2.7	100.36	0.14	100.151	0.068
12349	125	37.5	0.24	37.71	159	10243	0.04807	0.10	0.10366	0.17	0.015646	0.10	0.82	101.8	2.4	100.15	0.16	100.080	0.100
12350	126	37.8	0.22	38.02	173	11134	0.04814	0.11	0.10390	0.14	0.015661	0.05	0.66	105.0	2.7	100.37	0.14	100.174	0.051
12351far	127	36.5	0.22	36.68	164	10549	0.04807	0.08	0.10373	0.11	0.015657	0.04	0.58	101.7	2.1	100.21	0.10	100.150	0.036
12352	128	38.6	0.23	38.83	170	10939	0.04813	0.08	0.10385	0.09	0.015657	0.03	0.35	104.5	2.1	100.33	0.09	100.149	0.032
12353	129	37.0	0.22	37.20	169	10893	0.04812	0.08	0.10380	0.10	0.015654	0.03	0.64	103.9	2.0	100.28	0.10	100.131	0.034
12353s	130	37.0	0.22	37.20	169	10893	0.04812	0.08	0.10382	0.12	0.015656	0.07	0.71	103.9	2.0	100.29	0.11	100.142	0.069
12354	131	39.8	0.23	40.04	170	10949	0.04809	0.09	0.10375	0.11	0.015654								

Table S4: U-Pb isotope results of ET100 solution during 5 intercalibration exercises between TRITON and PHOENIX TIMS University of Geneva between 2016 and 2019

Fraction	Running #	Composition				Isotopic Ratios						Dates (Ma)										
		Pb*	Pbc	total mass	Pb*/Pbc c	206Pb/204Pb d	207Pb/206Pb e	$\pm 2\sigma$ %	207Pb/235U e	206Pb/238U e	$\pm 2\sigma$ %	Corr. coeff.	207Pb/206Pb f	$\pm 2\sigma$	207Pb/235U f	$\pm 2\sigma$	206Pb/238U f	$\pm 2\sigma$	Mean age calculations			
		(pg) a	(pg) b	(pg)																		
ET2535 spike bottle #1																						
ET100_2535_b1_TRITON_Jan2016																						
12943	132	41.4	0.25	41.69	167	10908	0.04812	0.09	0.10375	0.11	0.015644	0.03	0.62	104.1	2.2	100.23	0.10	100.068	0.027	100.044 ± 0.012 Ma [X] error, 2 σ	MSWD = 1.3, N = 8	
12944	133	40.5	0.25	40.72	160	10450	0.04803	0.08	0.10353	0.11	0.015639	0.02	0.76	99.8	2.1	100.03	0.10	100.037	0.024			
12945	134	38.5	0.25	38.72	155	10099	0.04803	0.12	0.10350	0.13	0.015638	0.03	0.35	99.5	2.9	100.01	0.12	100.026	0.029			
12947	135	35.4	0.24	35.66	146	9514	0.04800	0.10	0.10345	0.12	0.015637	0.04	0.62	98.4	2.4	99.95	0.12	100.020	0.039			
12948	136	33.3	0.22	33.56	151	9871	0.04806	0.22	0.10360	0.25	0.015641	0.03	0.90	101.3	5.2	100.10	0.24	100.045	0.033			
12950	137	44.5	0.28	44.82	156	10214	0.04801	0.16	0.10349	0.17	0.015640	0.08	0.28	98.7	3.9	99.99	0.16	100.042	0.080			
12952	138	41.2	0.26	41.46	156	10204	0.04798	0.10	0.10346	0.13	0.015645	0.05	0.65	97.4	2.5	99.97	0.12	100.074	0.047			
12953	139	54.4	0.31	54.68	177	11559	0.04810	0.09	0.10370	0.12	0.015643	0.05	0.63	103.2	2.3	100.19	0.11	100.060	0.045			
ET100_2535_b1_PHOENIX_DALY_Jan2016																						
P89	140	32.1	0.57	32.63	56	3697	0.04792	0.13	0.10329	0.15	0.015642	0.03	0.52	94.0	3.2	99.81	0.14	100.054	0.033	100.057 ± 0.009 Ma [X] error, 2 σ	MSWD = 1.3, N = 8	
P90	141	41.2	0.52	41.72	79	5171	0.04793	0.10	0.10335	0.11	0.015647	0.03	0.30	94.7	2.4	99.87	0.10	100.083	0.026			
P91	142	43.4	0.56	43.99	78	5090	0.04801	0.10	0.10351	0.11	0.015644	0.03	0.40	98.7	2.4	100.01	0.10	100.069	0.026			
P92	143	54.7	0.50	55.22	109	7125	0.04799	0.07	0.10346	0.08	0.015642	0.02	0.42	97.8	1.8	99.96	0.08	100.054	0.024			
P93	144	47.6	0.49	48.09	97	6354	0.04800	0.07	0.10349	0.09	0.015644	0.02	0.47	98.4	1.9	100.00	0.09	100.065	0.024			
P95	145	45.0	0.32	45.34	140	9161	0.04793	0.06	0.10331	0.08	0.015639	0.04	0.56	94.9	1.6	99.83	0.08	100.035	0.044			
P96	146	46.2	0.34	46.55	134	8752	0.04796	0.06	0.10337	0.08	0.015639	0.02	0.46	96.2	1.7	99.88	0.07	100.036	0.024			
P97	147	45.9	0.32	46.25	144	9429	0.04797	0.06	0.10342	0.09	0.015644	0.06	0.63	96.6	1.6	99.93	0.08	100.065	0.056			
P98	148	43.7	0.29	43.98	152	9915	0.04797	0.06	0.10341	0.07	0.015641	0.02	0.32	96.8	1.5	99.92	0.06	100.047	0.023			
ET100_2535_b1_PHOENIX_FARall_Jan2016																						
3-2_16	149	51.2	0.40	51.61	128	8347	0.04814	0.18	0.10377	0.19	0.015642	0.04	0.35	105.0	4.3	100.25	0.18	100.053	0.036	100.046 ± 0.010 Ma [X] error, 2 σ	MSWD = 1.0, N = 9	
3/2_17	150	41.2	0.40	41.63	102	6676	0.04810	0.19	0.10368	0.20	0.015639	0.03	0.16	103.2	4.6	100.16	0.19	100.036	0.031			
3/2_18	151	46.7	0.42	47.14	112	7296	0.04819	0.15	0.10386	0.16	0.015638	0.03	0.31	107.5	3.6	100.33	0.15	100.032	0.028			
3/2_19	152	49.9	0.43	50.32	116	7594	0.04817	0.09	0.10383	0.10	0.015641	0.03	0.32	106.4	2.3	100.30	0.10	100.049	0.025			
3/2_20	153	49.8	0.40	50.19	125	8179	0.04810	0.13	0.10368	0.14	0.015642	0.03	0.29	102.9	3.1	100.17	0.13	100.055	0.027			
3/2_21	154	47.8	0.40	48.21	119	7755	0.04823	0.15	0.10395	0.16	0.015638	0.03	0.24	109.6	3.6	100.41	0.15	100.028	0.028			
3/2_22	155	51.6	0.41	51.99	125	8154	0.04797	0.17	0.10342	0.18	0.015644	0.03	0.31	96.7	4.1	99.93	0.17	100.064	0.029			
3/2_23	156	47.5	0.49	48.03	97	6310	0.04855	0.16	0.10463	0.17	0.015637	0.04	0.37	125.1	3.8	101.04	0.16	100.024	0.040	100.050 ± 0.006 Ma [X] error, 2 σ	MSWD = 1.21, N = 26	
3/2_24	157	49.9	0.42	50.31	118	7723	0.04810	0.14	0.10369	0.15	0.015643	0.03	0.32	102.9	3.4	100.18	0.14	100.062	0.027			
ET2535 spike bottle #2																						
ET100_2535_b2_TRITON_nov2016																						
12985	158	51.1	0.27	51.40	190	12393	0.04798	0.08	0.10358	0.12	0.015664	0.06	0.67	97.3	2.1	100.08	0.11	100.191	0.058	100.243 ± 0.012 Ma [X] error, 2 σ	MSWD = 5.1, N = 12	
12986	159	36.8	0.21	37.03	175	11426	0.04802	0.16	0.10366	0.19	0.015663	0.06	0.63	99.1	3.8	100.15	0.18	100.190	0.059			
12987	160	49.3	0.27	49.57	186	12107	0.04809	0.11	0.10388	0.14	0.015675	0.05	0.68	102.6	2.6	100.36	0.13	100.261	0.044			
12987f	161	49.3	0.27	49.57	186	12107	0.04809	0.11	0.10390	0.14	0.015677	0.05	0.67	102.6	2.6	100.37	0.13	100.273	0.050			
12987s	162	49.3	0.27	49.57	186	12107	0.04809	0.11	0.10391	0.15	0.015679	0.08	0.71	102.6	2.6	100.38	0.15	100.287	0.080			
12988	163	44.1	0.25	44.32	177	11518	0.04805	0.11	0.10381	0.14	0.015676	0.07	0.57	100.7	2.7	100.29	0.13	100.270	0.074			
12989	164	40.5	0.26	40.80	156	10200	0.04793	0.11	0.10351	0.14	0.015672	0.04	0.83	94.5	2.8	100.01	0.14	100.243	0.035			
12990	165	48.8	0.26	49.01	187	12201	0.04804	0.08	0.10375	0.11	0.015671	0.03	0.62	100.1	2.1	100.23	0.10	100.237	0.034			
13000	166	43.7	0.25	43.97	176	11495	0.04799	0.07	0.10372	0.10	0.015682	0.03	0.69	97.7	1.9	100.20	0.09	100.306	0.030			
13011	167	51.7	0.28	52.03	184	12030	0.04795	0.09	0.10358	0.12	0.015674	0.04	0.65	95.7	2.2	100.07	0.11	100.258	0.040			
13012	168	48.5	0.28	48.73	175	11405	0.04797	0.12	0.10364	0.15	0.015678	0.04	0.77	96.6	3.0	100.13	0.15	100.279	0.040			
13013	169	49.2	0.27	49.50	185	12066	0.04800	0.09	0.10362	0.11	0.015662	0.03	0.82	98.3	2.2	100.11	0.11	100.182	0.025			
ET100_2535_b2_PHOENIX_Daly_nov2016																						
3/2_25	170	53.9	0.80	54.69	68	4424	0.04801	0.10	0.10371	0.12	0.015674	0.03	0.51	98.7	2.5	100.20	0.11	100.259	0.031	100.2523 ± 0.0084 Ma [X] error, 2 σ	MSWD = 1.1, N = 9	
3/2_26	171	55.4	0.79	56.1																		

ET100_2535_b2_PHOENIX_FARall_nov2016	3/2/35	79	21.7	0.29	21.98	75	4908	0.04831	0.16	0.10433	0.16	0.015670	0.03	0.28	113.3	3.7	100.76	0.16	100.234	0.029	100.2542 ± 0.0099 Ma [X] error, 2σ
	3/2/36	80	22.9	0.34	23.21	68	4441	0.04824	0.17	0.10422	0.18	0.015675	0.03	0.19	110.1	4.1	100.66	0.17	100.264	0.030	MSWD = 1.2, N = 9
	3/2/37	81	25.2	0.43	25.60	59	3841	0.04805	0.15	0.10381	0.16	0.015677	0.03	0.39	100.6	3.5	100.29	0.15	100.276	0.033	
	3/2/38	82	29.5	0.44	29.90	67	4360	0.04815	0.13	0.10402	0.14	0.015677	0.03	0.38	105.4	3.1	100.48	0.13	100.274	0.027	
	3/2/39	83	24.5	0.63	25.11	39	2547	0.04814	0.18	0.10399	0.20	0.015674	0.03	0.53	105.0	4.4	100.45	0.19	100.259	0.030	
	3/2/40	84	26.5	0.48	26.99	56	3636	0.04823	0.15	0.10418	0.16	0.015674	0.03	0.39	109.5	3.5	100.63	0.15	100.256	0.032	
	3/2/41	85	22.9	0.31	23.20	75	4892	0.04812	0.14	0.10393	0.15	0.015671	0.03	0.32	104.3	3.5	100.40	0.15	100.236	0.031	Mean Nov2016
	3/2/42	86	22.2	0.12	22.34	187	12184	0.04805	0.11	0.10378	0.12	0.015673	0.03	0.26	100.6	2.7	100.26	0.11	100.251	0.026	100.251 ± 0.0056 Ma [X] error, 2σ
	3/2/43	87	18.0	0.52	18.55	35	2276	0.04823	0.22	0.10417	0.24	0.015670	0.03	0.54	109.6	5.3	100.62	0.23	100.235	0.031	MSWD = 2.6, N = 30
ET100_2535_b2_Triton_nov2017	13606	188	47.2	0.26	47.48	184	11978	0.04802	0.08	0.10371	0.10	0.015670	0.03	0.62	99.3	2.0	100.20	0.09	100.234	0.025	100.206 ± 0.0084 Ma [X] error, 2σ
	13607	189	43.1	0.27	43.33	158	10340	0.04798	0.12	0.10362	0.15	0.015671	0.03	0.85	97.0	2.9	100.11	0.14	100.240	0.030	MSWD = 5.3, N = 10
	13608	190	39.2	0.24	39.46	163	10632	0.04802	0.09	0.10370	0.11	0.015669	0.02	0.84	99.1	2.2	100.18	0.11	100.227	0.024	
	13609	191	48.8	0.27	49.02	182	11858	0.04803	0.09	0.10372	0.12	0.015670	0.03	0.75	99.7	2.3	100.21	0.11	100.229	0.025	
	13610	192	51.1	0.26	51.34	198	12914	0.04810	0.07	0.10388	0.09	0.015669	0.03	0.57	103.3	1.7	100.35	0.08	100.226	0.027	
	13611	193	46.6	0.24	46.86	196	12773	0.04808	0.05	0.10381	0.08	0.015666	0.03	0.63	102.1	1.5	100.28	0.07	100.208	0.028	
	13612	194	50.6	0.26	50.87	198	12900	0.04803	0.06	0.10364	0.09	0.015657	0.03	0.63	99.7	1.7	100.13	0.08	100.148	0.026	
	13613	195	42.2	0.24	42.48	178	11639	0.04802	0.07	0.10364	0.08	0.015662	0.03	0.51	99.0	1.8	100.13	0.08	100.181	0.026	
	13614	196	47.1	0.27	47.36	175	11445	0.04796	0.08	0.10353	0.10	0.015662	0.02	0.67	96.3	2.0	100.03	0.09	100.183	0.024	
	13615	197	51.7	0.43	52.10	120	7832	0.04789	0.09	0.10336	0.12	0.015662	0.04	0.69	92.6	2.2	99.88	0.11	100.182	0.035	
ET100_2535_b2_Phoenix_nov2017	ET100_3-2_90	198	31.0	0.52	31.54	60	3930	0.04799	0.12	0.10363	0.14	0.015668	0.03	0.46	97.8	3.0	100.13	0.13	100.222	0.028	100.187 ± 0.009 Ma [X] error, 2σ
	ET100_3-2_91	199	23.0	0.33	23.31	70	4557	0.04790	0.13	0.10332	0.14	0.015651	0.03	0.42	93.4	3.2	99.84	0.14	100.110	0.030	MSWD = 5.8, N = 9
	ET100_3-2_93	200	52.8	0.43	53.27	123	8055	0.04802	0.08	0.10364	0.10	0.015662	0.03	0.60	99.0	2.0	100.13	0.09	100.178	0.028	
	ET100_3-2_94	201	53.2	0.54	53.69	99	6464	0.04798	0.09	0.10362	0.11	0.015669	0.03	0.60	97.3	2.2	100.11	0.10	100.227	0.030	
	ET100_3-2_95	202	55.7	0.28	55.97	198	12898	0.04801	0.05	0.10365	0.06	0.015664	0.02	0.45	98.8	1.3	100.14	0.06	100.196	0.024	
	ET100_3-2_96	203	49.4	0.82	50.21	60	3930	0.04812	0.12	0.10389	0.14	0.015666	0.03	0.45	104.1	3.1	100.36	0.13	100.207	0.030	
	ET100_3-2_97	204	55.9	0.75	56.67	75	4885	0.04806	0.10	0.10371	0.11	0.015660	0.03	0.43	100.9	2.4	100.20	0.11	100.168	0.025	Mean Nov207
	ET100_3-2_98	205	39.2	0.22	39.42	180	11743	0.04803	0.06	0.10366	0.08	0.015662	0.03	0.51	99.5	1.6	100.15	0.07	100.178	0.025	100.197 ± 0.006 Ma [X] error, 2σ.
	ET100_3-2_99	206	46.2	0.26	46.49	180	11724	0.04800	0.07	0.10363	0.08	0.015665	0.03	0.47	98.2	1.8	100.12	0.08	100.200	0.026	MSWD = 5.8, N = 19
change amplifiers for Triton to 10e13																					
ET100_2535_b2_Triton_Oct2018	14035	207	44.0	0.24	44.21	186	12151	0.04801	0.10	0.10362	0.12	0.015660	0.03	0.40	98.8	2.6	100.11	0.11	100.170	0.026	100.137 ± 0.0079 Ma [X] error, 2σ.
	14036	208	50.1	0.28	50.36	178	11646	0.04803	0.08	0.10363	0.10	0.015656	0.03	0.62	99.6	2.1	100.12	0.10	100.142	0.030	MSWD = 2.0, N = 14
	14037	209	55.0	0.26	55.23	214	13932	0.04803	0.05	0.10366	0.07	0.015660	0.03	0.57	99.7	1.4	100.15	0.07	100.166	0.026	
	14038	210	46.9	0.23	47.11	202	13178	0.04803	0.07	0.10362	0.09	0.015654	0.03	0.67	99.8	1.9	100.12	0.09	100.131	0.028	
	14039	211	48.9	0.30	49.17	165	10526	0.04803	0.12	0.10360	0.17	0.015651	0.04	0.97	99.6	3.0	100.09	0.16	100.113	0.039	
	14040	212	44.3	0.26	44.56	169	10928	0.04800	0.10	0.10357	0.12	0.015658	0.03	0.59	97.9	2.4	100.07	0.11	100.159	0.027	
	14041	213	40.8	0.30	41.06	137	8733	0.04794	0.17	0.10341	0.21	0.015651	0.04	0.92	95.4	4.1	99.92	0.20	100.113	0.042	
	14042	214	44.9	0.28	45.18	159	10341	0.04801	0.14	0.10358	0.17	0.015653	0.03	0.74	98.8	3.4	100.07	0.16	100.125	0.033	
	14043	215	48.0	0.28	48.28	171	11036	0.04800	0.13	0.10356	0.16	0.015655	0.05	0.81	98.3	3.1	100.06	0.16	100.134	0.045	
	14049	216	28.8	0.17	29.01	175	11403	0.04802	0.07	0.10361	0.10	0.015656	0.03	0.76	99.2	1.8	100.10	0.09	100.141	0.028	
	14050	217	41.8	0.23	42.01	178	11636	0.04798	0.07	0.10349	0.09	0.015652	0.02	0.71	97.0	1.8	99.99	0.09	100.115	0.024	
	14051	218	36.6	0.20	36.80	182	11906	0.04797	0.06	0.10349	0.09	0.015655	0.03	0.70	96.5	1.7	99.99	0.08	100.134	0.027	
	14065	219	39.8	0.22	40.03	181	11841	0.04800	0.08	0.10353	0.10	0.015649	0.03	0.59	98.2	1.9	100.03	0.09	100.101	0.032	
	14066	220	44.2	0.23	44.40	191	12473	0.04802	0.08	0.10361	0.10	0.015654	0.03	0.58	99.4	2.1	100.10	0.10	100.133	0.030	
ET100_2535_b2_Phoenix_Oct2018	ET100_161	221	44.6	0.29	44.90	156	10132	0.04793	0.06	0.10336	0.08	0.015649	0.03	0.58	94.5	1.7	99.87	0.08	100.098	0.027	100.136 ± 0.009 Ma [X] error, 2σ.
	ET100_162	222	45.2	0.25	45.47	184	11953	0.04803	0.06	0.10362	0.07	0.015653	0.02	0.27	99.7	1.5	100.11	0.06	100.125	0.024	MSWD = 3.1, N = 10
	ET100_163	223	42.9	0.27	43.18	160	10400	0.04804	0.07	0.10366	0.08	0.015656	0.03	0.28	100.3	1.7	100.15	0.07	100.144	0.025	
	ET100_164	224	45.5	0.32	45.85	143	9320	0.04805	0.06	0.10366	0.07	0.015653	0.02	0.51	100.8	1.5	100.15	0.07	100.126	0.024	
	ET100_165	225	44.5	0.37	44.86	120	7837	0.04809	0.06	0.10376	0.07	0.015656	0.02	0.30	102.5	1.7	100.24	0.07	100.140	0.024	
	ET100_166	226	57.1	0.42	57.53	135	8787	0.04804	0.07	0.10366	0.08	0.015657	0.03	0.20	100.0	1.8	100.14	0.07	100.152	0.026	
	ET100_167	227	39.3	0.39	39.72	100	6481	0.04801	0.10	0.10358	0.11	0.015654	0.03	0.49	98.7	2.4	100.07</				

ET100_2535_b2_TRITON_may2020																				
14458 231 47. 6 0. 37 48. 01 130 8510 0. 04809 0. 09 0. 10379 0. 11 0. 015661 0. 03 0. 69 102. 7 2. 2 100. 27 0. 10 100. 172 0. 029																			100.164 ± 0.011 Ma [X] error, 2 σ	
14459 232 45. 1 0. 33 45. 42 136 8853 0. 04811 0. 08 0. 10383 0. 10 0. 015659 0. 03 0. 70 103. 6 2. 0 100. 30 0. 10 100. 161 0. 028																			MSWD = 0.52, N = 9	
14460 233 38. 0 0. 24 38. 22 155 10131 0. 04805 0. 07 0. 10368 0. 09 0. 015657 0. 03 0. 53 100. 7 1. 9 100. 17 0. 09 100. 149 0. 027																				
14462 234 44. 0 0. 56 44. 55 78 5125 0. 04810 0. 11 0. 10380 0. 13 0. 015658 0. 03 0. 58 103. 2 2. 7 100. 28 0. 12 100. 156 0. 030																				
14463 235 50. 7 0. 89 51. 62 57 3736 0. 04817 0. 15 0. 10396 0. 17 0. 015660 0. 04 0. 59 106. 4 3. 6 100. 42 0. 16 100. 171 0. 039																				
14464 236 43. 9 0. 61 44. 50 72 4730 0. 04814 0. 11 0. 10390 0. 13 0. 015661 0. 03 0. 60 104. 9 2. 7 100. 37 0. 12 100. 177 0. 028																				
14465 237 38. 8 0. 30 39. 10 129 8431 0. 04815 0. 11 0. 10393 0. 13 0. 015662 0. 04 0. 56 105. 7 2. 7 100. 40 0. 13 100. 180 0. 037																				
14466 238 48. 5 0. 43 48. 97 112 7319 0. 04808 0. 10 0. 10374 0. 12 0. 015658 0. 03 0. 66 101. 9 2. 4 100. 23 0. 11 100. 153 0. 033																				
14467 239 55. 0 0. 54 55. 54 102 6645 0. 04806 0. 16 0. 10373 0. 19 0. 015661 0. 05 0. 69 101. 1 3. 8 100. 21 0. 18 100. 172 0. 049																				
ET100_2535_b2_PHOENIX_may2020																				
ET100_191 240 40. 1 0. 27 40. 36 150 9807 0. 04792 0. 08 0. 10338 0. 11 0. 015654 0. 03 0. 64 94. 2 2. 1 99. 89 0. 10 100. 131 0. 031																			100.1666 ± 0.0086 Ma [X] error, 2 σ .	
ET100_192 241 43. 0 0. 28 43. 27 153 10000 0. 04798 0. 06 0. 10356 0. 08 0. 015663 0. 03 0. 49 97. 0 1. 6 100. 06 0. 07 100. 190 0. 027																			MSWD = 2.2 N = 10	
ET100_193 242 40. 4 0. 26 40. 69 158 10288 0. 04797 0. 07 0. 10352 0. 08 0. 015659 0. 03 0. 35 96. 7 1. 8 100. 02 0. 08 100. 159 0. 025																				
ET100_194 243 44. 1 0. 32 44. 42 140 9112 0. 04797 0. 06 0. 10354 0. 08 0. 015660 0. 03 0. 54 96. 9 1. 7 100. 04 0. 08 100. 167 0. 025																				
ET100_195 244 45. 6 0. 28 45. 90 161 10504 0. 04806 0. 05 0. 10375 0. 07 0. 015663 0. 03 0. 49 101. 3 1. 4 100. 23 0. 07 100. 187 0. 025																				
ET100_196 245 43. 4 0. 25 43. 64 177 11554 0. 04795 0. 08 0. 10348 0. 10 0. 015658 0. 03 0. 42 95. 9 2. 1 99. 98 0. 09 100. 156 0. 033																				
ET100_197 246 41. 3 0. 25 41. 59 166 10856 0. 04801 0. 07 0. 10364 0. 09 0. 015665 0. 03 0. 47 98. 5 1. 9 100. 13 0. 09 100. 201 0. 031																				
ET100_198 247 46. 1 0. 31 46. 44 147 9589 0. 04792 0. 09 0. 10343 0. 10 0. 015660 0. 03 0. 47 94. 4 2. 1 99. 94 0. 10 100. 169 0. 031																			Mean May2020	
ET100_199 248 46. 7 0. 28 46. 96 165 10782 0. 04805 0. 06 0. 10368 0. 07 0. 015657 0. 02 0. 18 100. 7 1. 7 100. 17 0. 07 100. 146 0. 023																			100.1657 ± 0.0067 Ma [X] error, 2 σ	
ET100_200 249 43. 5 0. 46 43. 97 94 6145 0. 04800 0. 08 0. 10358 0. 10 0. 015659 0. 03 0. 47 98. 0 2. 1 100. 08 0. 10 100. 163 0. 026																			MSWD = 1.3, N = 19	

b1 - ET2535 bottle 1

b2 - ET2535 bottle 2

a Total mass of radiogenic Pb.

b Total mass of common Pb.

c Ratio of radiogenic Pb (including 208Pb) to common Pb.

d Measured ratio corrected for fractionation and spike contribution only.

e Measured ratios corrected for fractionation, tracer and blank.

f Isotopic dates calculated using $\lambda_{238} = 1.55125E-10$ (Jaffey et al. 1971) and $\lambda_{235} = 9.8485E-10$ (Jaffey et al. 1971).

Table S5: U-Pb isotope results of ET100 solution using improved spike sample equilibration from University of Geneva, Princeton University and ETH Zürich labs

Fraction	Running #	Composition				Isotopic Ratios								Dates (Ma)									Mean age calculations					
		Pb*	Pbc	mass	Pb*/Pbc	206Pb/ 204Pb	207Pb/ 206Pb	207Pb/ 235U	206Pb/ 238U	Corr. coef.	207Pb/ 206Pb	±2σ abs	207Pb/ 235U	±2σ abs	206Pb/ 238U	Corr. coef.	207Pb/ 206Pb	±2σ abs	207Pb/ 235U	±2σ abs	206Pb/ 238U	Corr. coef.						
		(pg) a	(pg) b	Pb(pg)	Pbc c	d	e	±2σ %	e		f	abs	f	abs	e	f	abs	f	abs	e	f	abs						
University of Geneva																												
December 28, 2020 μCap Flux																												
251		49.7	0.29	49.96	170	11074	0.04798	0.06	0.10353	0.07	0.015656	0.03	0.29	97.3	1.7	100.03	0.07	100.142	0.028	100.1699 ± 0.0097 Ma [X] error, 2σ								
252		49.7	0.27	49.97	182	11865	0.04798	0.06	0.10356	0.07	0.015660	0.03	0.20	97.4	1.6	100.06	0.06	100.171	0.027	MSWD = 2.1, N = 8								
253		49.7	0.29	49.98	169	11552	0.04798	0.06	0.10358	0.08	0.015663	0.03	0.30	97.3	1.7	100.07	0.07	100.187	0.026									
254		49.7	0.29	49.97	173	11266	0.04801	0.05	0.10362	0.06	0.015661	0.02	0.41	98.7	1.4	100.11	0.06	100.172	0.024									
255		49.7	0.57	50.25	88	5746	0.04805	0.11	0.10371	0.12	0.015660	0.04	0.47	100.8	2.6	100.19	0.12	100.167	0.038									
256		49.7	0.24	49.93	205	13236	0.04800	0.04	0.10357	0.06	0.015656	0.03	0.44	98.2	1.3	100.06	0.06	100.145	0.027									
257		49.7	0.25	49.95	196	12766	0.04798	0.05	0.10354	0.06	0.015660	0.03	0.50	97.0	1.3	100.04	0.06	100.167	0.027									
258		49.7	0.29	49.99	169	11494	0.04800	0.07	0.10362	0.08	0.015665	0.03	0.42	98.0	1.8	100.11	0.08	100.199	0.026									
January 8, 2021 μCap Flux																												
259		45.9	0.32	46.23	143	9344	0.04793	0.07	0.10344	0.08	0.015658	0.03	0.40	94.9	1.8	99.95	0.08	100.156	0.027	100.1779 ± 0.0094 Ma [X] error, 2σ								
260		45.9	0.28	46.20	167	10879	0.04799	0.05	0.10362	0.06	0.015666	0.02	0.36	97.9	1.4	100.12	0.06	100.206	0.024	MSWD = 2.2, N = 7								
261		45.9	0.34	46.28	135	8799	0.04803	0.07	0.10366	0.08	0.015661	0.03	0.48	99.6	1.8	100.15	0.08	100.172	0.026									
262		45.9	0.30	46.23	151	10299	0.04797	0.07	0.10356	0.09	0.015665	0.03	0.37	96.8	1.9	100.06	0.08	100.200	0.026									
263		45.9	0.29	46.22	156	10178	0.04802	0.05	0.10364	0.07	0.015661	0.02	0.33	99.1	1.5	100.13	0.06	100.174	0.023	Total of 15 analyses (UNIGE)								
264		45.9	0.29	46.22	158	10307	0.04800	0.06	0.10361	0.07	0.015660	0.02	0.27	98.4	1.5	100.10	0.06	100.170	0.025	100.1740 ± 0.0067 Ma [X] error, 2σ								
265		45.9	0.28	46.21	164	10721	0.04800	0.05	0.10358	0.07	0.015659	0.02	0.50	98.0	1.4	100.08	0.06	100.164	0.024	MSWD = 2.1, N = 15								
Princeton University																												
ET100 Pb Daly, U Far, Jan 2018																												
010218_ME1		17.8	0.39	18.19	46	3216	0.04786	0.43190	0.10325	0.47	0.015652	0.12	0.46	91.4	10.3	99.77	0.45	100.120	0.115	100.1680 ± 0.0054 Ma [X] error, 2σ								
010218_ME2		17.8	0.38	18.20	47	3280	0.04801	0.30542	0.10359	0.31	0.015655	0.04	0.14	98.9	7.3	100.09	0.30	100.139	0.044	MSWD = 0.78, N = 18								
010218_ME3		17.8	0.38	18.21	47	3286	0.04798	0.30660	0.10353	0.32	0.015656	0.05	0.32	97.3	7.3	100.03	0.31	100.141	0.048									
010218_ME4		17.8	0.39	18.18	46	3189	0.04798	0.31402	0.10359	0.32	0.015664	0.04	0.23	97.5	7.5	100.09	0.31	100.197	0.040									
010218_ME5		17.8	0.38	18.21	47	3244	0.04799	0.30546	0.10357	0.31	0.015659	0.04	0.23	97.7	7.3	100.06	0.30	100.162	0.038									
010218_ME6		17.8	0.41	18.24	44	3041	0.04807	0.32910	0.10375	0.34	0.015661	0.04	0.19	101.5	7.8	100.23	0.32	100.172	0.039									
010218_ME7		17.8	0.40	18.23	45	3133	0.04799	0.31668	0.10359	0.32	0.015663	0.04	0.22	97.7	7.5	100.09	0.31	100.187	0.038									
010218_ME8		17.8	0.40	18.23	45	3115	0.04794	0.32193	0.10348	0.34	0.015663	0.05	0.34	95.1	7.7	99.98	0.32	100.185	0.045									
010218_ME9		17.8	0.46	18.29	39	2714	0.04806	0.36501	0.10372	0.38	0.015658	0.05	0.31	101.4	8.7	100.20	0.36	100.154	0.045									
010218_ME10		17.8	0.44	18.27	40	2825	0.04799	0.35061	0.10354	0.36	0.015655	0.04	0.21	97.7	8.3	100.04	0.34	100.140	0.041									
010218_ME11		17.8	0.41	18.25	43	3027	0.04807	0.30810	0.10374	0.34	0.015659	0.05	0.62	101.6	7.3	100.22	0.32	100.162	0.047									
010218_ME12		17.8	0.45	18.28	40	2761	0.04804	0.37423	0.10369	0.39	0.015661	0.06	0.36	100.1	8.9	100.17	0.37	100.176	0.058									
010218_ME13		17.8	0.41	18.24	43	3010	0.04803	0.32990	0.10366	0.33	0.015660	0.04	0.08	99.6	7.8	100.15	0.32	100.171	0.039									
010218_ME14		17.8	0.43	18.26	42	2921	0.04789	0.37408	0.10338	0.40	0.015662	0.06	0.45	93.0	8.9	99.89	0.38	100.183	0.057									
010218_ME15		17.8	0.42	18.26	43	2970	0.04803	0.33778	0.10370	0.34	0.015665	0.04	0.08	99.9	8.0	100.19	0.32	100.199	0.044									
010218_ME16		17.8	0.45	18.27	40	2779	0.04805	0.44791	0.10369	0.46	0.015657	0.10	0.20	100.8	10.6	100.18	0.44	100.148	0.097									
010218_ME17		17.8	0.39	18.21	46	3213	0.04806	0.31566	0.10371	0.33	0.015658	0.04	0.36	101.1	7.5	100.19	0.32	100.158	0.043									
010218_ME18		17.8	0.50	18.33	36	2499	0.04801	0.41100	0.10362	0.43	0.015661	0.06	0.35	98.6	9.8	100.12	0.41	100.178	0.055									
ET100 Pb Daly, U Far, Apr 2018																												
041118_ME1		70.7	0.34	71.02	205	14221	0.04807	0.09034	0.10368	0.12	0.015650	0.05	0.63	101.7	2.3	100.17	0.11	100.107	0.045	100.1406 ± 0.0054 Ma [X] error, 2σ								
041118_ME2		70.7	0.34	71.04	208	14415	0.04802	0.09537	0.10360	0.11	0.015654	0.03	0.43	99.2	2.4	100.09	0.10	100.132	0.026	MSWD = 2.2, N = 10								
041118_ME3		70.7	0.36	71.07	196	13589	0.04804	0.10712	0.10362	0.12	0.015652	0.04	0.30	100.0	2.6	100.12	0.11	100.121	0.036									
041118_ME4		70.7	0.38	71.09	188	13079	0.04804	0.08890	0.10364	0.11	0.015655	0.05	0.47	100.0	2.2	100.13	0.10	10										

ETH Zürich																						
ET100_SFm 208																						
18604	65.1	0.24	65.34	274	16943	0.048086	0.25	0.10380	0.26	0.015664	0.032	0.34	102.4	6.0	100.28	0.25	100.191	0.031	$100.1837 \pm 0.0115 \text{ Ma} [X] \text{ error, } 2\sigma$			
18605	67.9	0.22	68.11	305	18872	0.048007	0.23	0.10357	0.24	0.015653	0.029	0.39	98.6	5.4	100.06	0.23	100.125	0.029	MSWD = 2.5, N = 10			
18621	66.8	0.20	67.05	330	20391	0.048069	0.21	0.10373	0.22	0.015658	0.028	0.38	101.6	5.0	100.21	0.21	100.154	0.028				
18622	34.3	0.18	34.49	192	11910	0.048101	0.35	0.10379	0.36	0.015657	0.030	0.41	103.2	8.4	100.27	0.35	100.152	0.030				
18656	68.9	0.58	69.52	119	7350	0.048197	0.57	0.10404	0.59	0.015663	0.041	0.47	107.9	13.5	100.50	0.56	100.185	0.041				
18666	66.7	0.21	66.95	311	19233	0.048020	0.23	0.10368	0.24	0.015666	0.033	0.44	99.2	5.5	100.17	0.23	100.208	0.033				
18719	56.3	0.19	56.53	292	18081	0.048014	0.24	0.10367	0.26	0.015666	0.034	0.40	98.9	5.8	100.15	0.25	100.206	0.034				
18720	58.5	0.19	58.73	306	18954	0.048088	0.22	0.10381	0.24	0.015664	0.030	0.39	102.6	5.4	100.29	0.23	100.193	0.030				
18728	55.1	0.23	55.36	239	14782	0.048024	0.29	0.10364	0.30	0.015658	0.034	0.30	99.4	6.9	100.13	0.29	100.158	0.034				
18779	21.5	0.16	21.66	135	8380	0.047957	0.51	0.10351	0.53	0.015661	0.036	0.48	96.1	12.1	100.01	0.50	100.174	0.036				
18905	43.6	0.13	43.78	333	20623	0.048065	0.21	0.10379	0.22	0.015668	0.030	0.38	101.4	5.0	100.27	0.21	100.218	0.030				
ET100 FARADAY 2018																						
19690	57.7	0.18	57.86	321	19851	0.048030	0.21	0.10366	0.22	0.015661	0.019	0.42	99.7	5.1	100.15	0.21	100.173	0.019	$100.1782 \pm 0.0049 \text{ Ma} [X] \text{ error, } 2\sigma$			
19692	53.5	0.16	53.68	340	21002	0.048097	0.20	0.10383	0.21	0.015664	0.015	0.42	103.0	4.8	100.30	0.20	100.191	0.015	MSWD = 2.5, N = 13			
19695	65.7	0.21	65.88	319	19754	0.048059	0.21	0.10373	0.22	0.015661	0.016	0.42	101.1	5.1	100.21	0.21	100.176	0.016				
19738	61.4	0.17	61.58	355	21953	0.048091	0.19	0.10382	0.20	0.015664	0.015	0.42	102.7	4.5	100.30	0.19	100.193	0.014				
19891	39.4	0.15	39.55	255	15771	0.048011	0.27	0.10364	0.28	0.015664	0.018	0.45	98.8	6.3	100.13	0.26	100.191	0.018				
19959	56.2	0.16	56.37	352	21790	0.048085	0.19	0.10378	0.20	0.015660	0.016	0.40	102.4	4.6	100.26	0.19	100.168	0.016				
19960	54.6	0.16	54.78	336	20814	0.048070	0.20	0.10376	0.21	0.015663	0.018	0.39	101.7	4.8	100.24	0.20	100.185	0.018				
19961	52.9	0.15	53.01	360	22268	0.048080	0.19	0.10376	0.20	0.015659	0.016	0.39	102.1	4.5	100.24	0.19	100.160	0.015				
19962	53.8	0.15	53.94	348	21514	0.048099	0.19	0.10380	0.20	0.015659	0.015	0.42	103.1	4.6	100.28	0.19	100.162	0.015				
19968	43.8	0.15	43.92	302	18666	0.048109	0.22	0.10384	0.23	0.015662	0.016	0.41	103.6	5.4	100.32	0.22	100.180	0.016				
20012	51.2	0.15	51.35	344	21281	0.048094	0.20	0.10381	0.21	0.015662	0.016	0.41	102.9	4.7	100.29	0.20	100.178	0.016				
20027	55.9	0.15	56.02	365	22574	0.048083	0.18	0.10379	0.19	0.015662	0.015	0.40	102.3	4.4	100.27	0.18	100.183	0.015				
20051	58.0	0.17	58.17	342	21176	0.048074	0.20	0.10374	0.21	0.015658	0.019	0.37	101.8	4.8	100.22	0.20	100.157	0.019				
																			Total of 28 analyses (ETH)			
																			MEAN UNIGE-PU-ETH: 43 analyses			
																			$100.1732 \pm 0.0031 \text{ Ma} [X] \text{ error, } 2\sigma$			
																			MSWD = 2.6, N = 67			

a Total mass of radiogenic Pb.
 b Total mass of common Pb.
 c Ratio of radiogenic Pb (including 208Pb) to common Pb.
 d Measured ratio corrected for fractionation and spike contribution only.
 e Measured ratios corrected for fractionation, tracer and blank.
 f Isotopic dates calculated using $\lambda_{238} = 1.55125 \times 10^{-11}$ (Jaffey et al. 1971) and $\lambda_{235} = 9.8485 \times 10^{-11}$ (Jaffey et al. 1971).

Tab S6: U-Pb results of ET2000 synthetic solution measured in University of Geneva, Princeton University and ETH Zürich labs

Fraction	Composition			Isotopic Ratios										Dates (Ma)							
	Pb*	Pbc	mass	Pb*/Pbc	206Pb/204Pb	207Pb/206Pb	207Pb/235U	206Pb/238U	Corr. coef.	207Pb/206Pb	±2σ abs	207Pb/235U	±2σ abs	206Pb/238U	±2σ abs	abs	abs	abs	abs		
	(pg) a	(pg) b	Pb(pg)	c	d	e	±2σ %	e	±2σ %	f	abs	f	abs	abs	abs	abs	abs	abs			
University of Geneva																					
<i>ET2Ga SEM2 - 2008</i>																					
MO2000_2	50.4	0.98	51.4	52	3146	0.123170	0.10	6.1522	0.13	0.36242	0.07	0.61	2001.8	1.8	1997.7	1.1	1993.7	1.2			
MO2000_3	24.5	0.41	24.9	60	3689	0.122930	0.13	6.1466	0.15	0.36280	0.09	0.44	1998.4	2.4	1996.9	1.3	1995.5	1.6			
MO2000_4	53.2	0.50	53.7	107	6506	0.123070	0.09	6.1601	0.14	0.36319	0.10	0.77	2000.4	1.6	1998.8	1.2	1997.3	1.7			
MO2000_6	44.6	0.47	45.1	95	5764	0.123079	0.06	6.1611	0.11	0.36322	0.07	0.80	2000.5	1.3	1999.0	1.0	1997.4	1.1			
MO2000_7	1230.0	8.19	1240.3	150	9141	0.123040	0.04	6.1669	0.08	0.36368	0.05	0.76	2000.0	1.0	1999.8	0.7	1999.6	0.9			
<i>ET2000 SEM3 - 2014</i>																					
MO2000_13	91.9	0.96	92.8	96	5844	0.123063	0.05	6.1633	0.10	0.36339	0.07	0.83	2000.3	1.0	1999.3	0.9	1998.2	1.3			
MO2000_14	199.0	1.72	201.1	116	7047	0.122992	0.06	6.1628	0.10	0.36358	0.06	0.76	1999.3	1.2	1999.2	0.9	1999.1	1.0			
MO2000_15	67.8	0.70	68.5	97	5902	0.123094	0.04	6.1741	0.07	0.36394	0.04	0.64	2000.8	0.9	2000.8	0.6	2000.8	0.6			
MO2000_16	83.9	0.80	84.7	105	6356	0.123027	0.04	6.1659	0.08	0.36366	0.06	0.78	1999.8	0.9	1999.6	0.7	1999.5	1.0			
MO2000_17	104.0	0.91	105.2	115	6970	0.123035	0.04	6.1624	0.09	0.36343	0.06	0.79	1999.9	1.0	1999.1	0.8	1998.4	1.1			
MO2000_18	86.0	0.82	86.9	105	6387	0.123069	0.05	6.1744	0.09	0.36403	0.06	0.75	2000.4	1.0	2000.8	0.8	2001.3	1.0			
MO2000_19	92.5	0.86	93.3	107	6515	0.123050	0.08	6.1700	0.17	0.36381	0.13	0.88	2000.1	1.5	2000.2	1.5	2000.2	2.3			
MO2000_20	120.0	0.95	120.8	126	7659	0.123047	0.04	6.1627	0.11	0.36341	0.09	0.88	2000.1	0.9	1999.2	1.0	1998.3	1.6			
MO2000_21	111.0	0.95	112.4	117	7098	0.123008	0.04	6.1670	0.08	0.36377	0.06	0.79	1999.5	0.8	1999.8	0.7	2000.0	1.0			
MO2000_22	108.0	0.94	108.6	114	6952	0.123033	0.05	6.1671	0.10	0.36371	0.07	0.82	1999.9	1.1	1999.8	0.9	1999.7	1.2			
MO2000_23	103.0	0.92	103.6	111	6758	0.123020	0.04	6.1655	0.08	0.36365	0.05	0.78	1999.7	0.9	1999.6	0.7	1999.5	0.9			
MO2000_24	97.6	0.91	98.5	107	6530	0.123048	0.05	6.1709	0.08	0.36389	0.05	0.74	2000.1	1.0	2000.3	0.7	2000.6	0.9			
MO2000_25	190.0	1.26	191.3	151	9155	0.123040	0.01	6.1696	0.05	0.36384	0.03	0.84	2000.0	0.6	2000.2	0.5	2000.3	0.5			
MO2000_26	153.0	1.09	153.9	140	8497	0.123062	0.04	6.1753	0.09	0.36411	0.07	0.84	2000.3	0.8	2001.0	0.8	2001.6	1.2			
MO2000_27	193.0	1.29	194.1	150	9098	0.123091	0.03	6.1775	0.06	0.36415	0.03	0.66	2000.7	0.8	2001.3	0.5	2001.8	0.6			
MO2000_28	315.0	1.78	316.7	177	10726	0.122998	0.04	6.1682	0.08	0.36388	0.06	0.81	1999.4	0.9	2000.0	0.7	2000.5	1.0			
MO2000_30	346.0	1.89	348.3	183	11139	0.122977	0.04	6.1497	0.12	0.36285	0.10	0.90	1999.1	0.9	1997.3	1.0	1995.6	1.7			
MO2000_31	289.0	1.60	290.9	181	10968	0.123019	0.05	6.1669	0.13	0.36374	0.11	0.90	1999.7	1.0	1999.8	1.2	1999.9	2.0			
<i>ET2000 SEM4 - May 2015</i>																					
MO2000_32	265.0	1.40	266.4	189	11484	0.123038	0.03	6.1628	0.07	0.36344	0.05	0.79	1999.9	0.8	1999.2	0.7	1998.5	0.9			
MO2000_33s	332.0	1.77	333.7	187	11377	0.123011	0.02	6.1712	0.06	0.36402	0.04	0.76	1999.6	0.7	2000.4	0.5	2001.2	0.7			
MO2000_34	419.0	2.20	421.3	190	11563	0.123041	0.03	6.1660	0.20	0.36361	0.19	0.98	2000.0	0.8	1999.6	1.7	1999.3	3.3			
MO2000_35	592.0	3.02	594.9	196	11905	0.123079	0.04	6.1606	0.09	0.36319	0.06	0.79	2000.5	1.0	1998.9	0.8	1997.3	1.1			
MO2000_36	502.0	2.56	504.2	196	11894	0.123026	0.03	6.1608	0.06	0.36336	0.04	0.72	1999.8	0.8	1998.9	0.5	1998.1	0.7			
MO2000_37	296.0	1.53	297.8	193	11735	0.123026	0.03	6.1702	0.06	0.36391	0.04	0.70	1999.8	0.8	2000.2	0.5	2000.7	0.7			
<i>ET2000 SEM5 - March 2016</i>																					
MO2000_42	769.0	4.03	773.0	191	11588	0.123024	0.04	6.1548	0.09	0.36301	0.07	0.84	1999.7	0.9	1998.1	0.8	1996.4	1.2			
MO2000_43	1010.0	5.16	1018.5	196	11921	0.123087	0.03	6.1827	0.13	0.36447	0.12	0.95	2000.7	0.8	2002.0	1.1	2003.3	2.1			
MO2000_44	763.0	4.02	767.0	190	11536	0.123002	0.03	6.1687	0.09	0.36389	0.07	0.85	1999.4	0.8	2000.0	0.8	2000.6	1.2			
MO2000_45	801.0	4.18	804.8	191	11632	0.123039	0.03	6.1861	0.07	0.36481	0.05	0.78	2000.0	0.8	2002.5	0.6	2004.9	0.9			
MO2000_46	877.0	4.40	881.5	199	12104	0.123055	0.02	6.1714	0.06	0.36390	0.04	0.74	2000.2	0.7	2000.4	0.51	2000.6	0.6			

Princeton University																			
ET2Ga_Sep2019																			
0919DS1	12.3	0.13	12.5	96	6258	0.122936	0.09	6.1627	0.12	0.36374	0.07	0.52	1998.5	1.8	1999.2	1.0	1999.9	1.1	
0919DS2	10.6	0.12	10.7	88	5712	0.122997	0.12	6.1662	0.16	0.36376	0.09	0.58	1999.4	2.3	1999.7	1.4	2000.0	1.5	
0919DS4	14.5	0.15	14.7	98	6338	0.123042	0.08	6.1698	0.11	0.36384	0.06	0.55	2000.0	1.6	2000.2	0.9	2000.4	1.0	
0919DS5	14.6	0.16	14.7	89	5759	0.123106	0.09	6.1707	0.11	0.36370	0.06	0.51	2000.9	1.7	2000.3	1.0	1999.7	1.0	
0919DS6	24.2	0.22	24.4	109	7069	0.123028	0.07	6.1637	0.11	0.36353	0.06	0.75	1999.8	1.4	1999.3	1.0	1998.9	1.1	
0919DS7	23.5	0.20	23.7	118	7681	0.123016	0.05	6.1656	0.07	0.36367	0.04	0.49	1999.6	1.1	1999.6	0.6	1999.5	0.6	
0919DS8	29.3	0.23	29.5	128	8278	0.123042	0.05	6.1663	0.11	0.36364	0.09	0.83	2000.0	1.1	1999.7	0.9	1999.4	1.5	
0919DS9	34.5	0.30	34.8	117	7578	0.123021	0.06	6.1643	0.08	0.36358	0.03	0.47	1999.7	1.2	1999.4	0.7	1999.1	0.6	
0919DS10	39.2	0.32	39.6	122	7929	0.122982	0.05	6.1624	0.07	0.36358	0.03	0.44	1999.1	1.1	1999.1	0.6	1999.1	0.4	
0919DS11	51.9	0.46	52.4	113	7344	0.123068	0.05	6.1678	0.07	0.36365	0.02	0.35	2000.4	1.1	1999.9	0.6	1999.4	0.4	
0919DS12	73.0	0.56	73.5	130	8455	0.123028	0.05	6.1651	0.06	0.36360	0.02	0.38	1999.8	1.0	1999.5	0.5	1999.2	0.3	
0919DS13	82.3	0.62	82.9	132	8589	0.122979	0.06	6.1620	0.07	0.36357	0.02	0.35	1999.1	1.2	1999.1	0.6	1999.1	0.4	
0919DS14	96.3	0.73	97.0	133	8600	0.123117	0.05	6.1679	0.07	0.36351	0.02	0.56	2001.1	1.1	1999.9	0.6	1998.8	0.3	
0919DS15	103.2	0.76	103.9	136	8799	0.123033	0.04	6.1644	0.06	0.36355	0.02	0.43	1999.9	1.0	1999.4	0.5	1999.0	0.4	
0919DS16	177.8	1.42	179.2	125	8119	0.123033	0.05	6.1643	0.06	0.36354	0.01	0.27	1999.9	1.0	1999.4	0.5	1998.9	0.2	
ETH Zürich																			
ET2Ga_2016-2019																			
17314	84.3	0.54	84.9	157	9875	0.123004	0.04	6.1625	0.06	0.36352	0.04	0.64	1999.4	0.9	1999.1	0.6	1998.8	0.6	
17312	51.0	0.38	51.4	133	8378	0.123009	0.05	6.1626	0.08	0.36351	0.04	0.65	1999.5	1.0	1999.2	0.7	1998.8	0.7	
16650	51.4	0.32	51.7	161	10147	0.123055	0.05	6.1667	0.08	0.36362	0.04	0.66	2000.2	1.1	1999.7	0.7	1999.3	0.7	
16594	51.6	0.33	52.0	157	9918	0.123015	0.06	6.1671	0.09	0.36376	0.04	0.68	1999.6	1.1	1999.8	0.8	2000.0	0.8	
17313	48.1	0.36	48.5	134	8446	0.122986	0.04	6.1632	0.08	0.36362	0.04	0.70	1999.2	1.0	1999.2	0.7	1999.3	0.7	
19719	51.4	0.34	51.7	153	9616	0.123060	0.05	6.1660	0.09	0.36357	0.06	0.72	2000.3	1.1	1999.6	0.8	1999.1	1.0	
19720	51.6	0.35	52.0	149	9412	0.123019	0.06	6.1665	0.09	0.36371	0.06	0.73	1999.7	1.2	1999.7	0.8	1999.7	1.0	
19338	111.6	0.95	112.5	118	7423	0.123012	0.06	6.1566	0.08	0.36315	0.06	0.75	1999.6	1.0	1998.3	0.7	1997.1	1.0	
19337	101.7	0.58	102.3	177	11133	0.123093	0.04	6.1664	0.06	0.36349	0.04	0.77	2000.7	0.6	1999.7	0.5	1998.7	0.6	
19364	124.8	0.73	125.6	170	10703	0.123037	0.05	6.1626	0.08	0.36343	0.05	0.77	1999.9	0.9	1999.2	0.7	1998.4	0.8	

a Total mass of radiogenic Pb.

b Total mass of common Pb.

c Ratio of radiogenic Pb (including 208Pb) to common Pb.

d Measured ratio corrected for fractionation and spike contribution only.

e Measured ratios corrected for fractionation, tracer and blank.

f Isotopic dates calculated using $\lambda_{238} = 1.55125 \times 10^{-10}$ (Jaffey et al. 1971) and $\lambda_{235} = 9.8485 \times 10^{-10}$ (Jaffey et al. 1971).

Table S7: U-Pb isotope results from natural reference zircon materials Temora-2 and JG-1 at University of Geneva

		Composition				Isotopic Ratios												Dates (Ma)																		
Fraction	Running number	Pb*	Pbc	total mass	Pb*/Pbc	Th/ ²⁰⁴ Pb _a	²⁰⁸ Pb/ ²⁰⁴ Pb _a	²⁰⁷ Pb/ ²⁰⁴ Pb _a	²⁰⁷ Pb/ ²³⁵ U _i	²⁰⁶ Pb/ ²³⁵ U _i	Corr.	²⁰⁷ Pb/ ²³⁸ Pb _a	²⁰⁷ Pb/ ²³⁵ U _a	²⁰⁶ Pb/ ²³⁸ U _a	²⁰⁶ Pb/ ²³⁸ U _{a,h}	Mean age calculations (not Th-corrected)	²⁰⁶ Pb/ ²³⁵ U _a	²⁰⁶ Pb/ ²³⁸ U _{a,h}	²⁰⁶ Pb/ ²³⁵ U _a	²⁰⁶ Pb/ ²³⁸ U _{a,h}	²⁰⁶ Pb/ ²³⁵ U _a	²⁰⁶ Pb/ ²³⁸ U _{a,h}	²⁰⁶ Pb/ ²³⁵ U _a	²⁰⁶ Pb/ ²³⁸ U _{a,h}												
		(pg) _a	(pg) _b	Pb(pg)	Pbc _c	U _d	±2σ	±2σ %	±2σ %	±2σ %	abs	abs	abs	abs	abs	abs	abs	abs	abs	abs	abs	abs	abs	abs	abs	abs	abs									
TEMORA-2																																				
TRITON Temora 2535 (bottle 1), SEM 4, dec 2014 180°C abrasion																																				
11573	1	72.8	0.22	73.01	337.74	0.35	21139	0.05512	0.08	0.50807	0.10	0.0666880	0.04	0.54	416.2	1.9	417.15	0.34	417.33	0.17	417.42	0.17	417.34 ± 0.07 Ma [X]-error, 2σ	MSWD = 1.7, N = 8												
11838	2	44.1	0.21	44.36	208.49	0.36	13013	0.05507	0.14	0.50768	0.18	0.0666896	0.06	0.73	413.9	3.2	416.89	0.62	417.43	0.24	417.52	0.24														
11839	3	55.4	0.73	56.18	75.68	0.50	4565	0.05514	0.20	0.50800	0.21	0.0666850	0.05	0.25	416.8	4.6	417.10	0.72	417.15	0.20	417.24	0.20														
11845	4	142.7	0.21	142.94	695.21	0.32	43818	0.05513	0.06	0.50814	0.08	0.0666882	0.03	0.67	416.4	1.5	417.20	0.28	417.34	0.14	417.44	0.14														
11846	5	47.2	0.22	47.45	219.10	0.41	13476	0.05514	0.08	0.50844	0.10	0.0666906	0.04	0.59	416.9	2.0	417.40	0.36	417.49	0.15	417.58	0.15														
PHOENIX Temora 2535 (bottle 1), dec 2014 180°C abrasion																																				
378	6	79.4	0.74	80.17	107.61	0.44	6298	0.05515	0.09	0.50900	0.41	0.0666970	0.40	0.97	417.1	2.1	417.70	1.40	417.90	1.60	417.90	1.60														
379	7	110.3	4.36	114.62	25.26	0.36	1525	0.05504	0.28	0.50700	0.31	0.0666844	0.08	0.51	412.8	6.2	416.40	1.10	417.11	0.33	417.20	0.33														
380	8	36.3	1.33	37.64	27.21	0.41	1620	0.05520	0.24	0.50860	0.28	0.0666858	0.07	0.64	419.2	5.5	417.50	0.97	417.20	0.26	417.29	0.26														
TRITON Temora 535 SEM 5 nov 2017 180°C abrasion																																				
13718s	9	107.4	1.71	109.13	62.93	0.41	3746	0.05527	0.43	0.50940	0.45	0.0666871	0.06	0.44	422.3	9.6	418.00	1.60	417.28	0.26	417.37	0.26	417.26 ± 0.13 Ma [X]-error, 95% c.l.	MSWD = 3.4, N=20												
13719	10	63.2	1.40	64.56	45.03	0.37	2711	0.05529	0.59	0.50920	0.62	0.0666821	0.08	0.42	423.0	13.0	417.90	2.10	416.98	0.32	417.07	0.32														
13720	11	21.0	1.79	22.80	11.76	0.43	1305	0.05550	2.30	0.51100	2.40	0.0666897	0.12	0.70	430.0	51.0	419.40	8.10	417.44	0.49	417.53	0.49														
13721	12	33.9	2.98	36.92	11.39	0.38	696	0.05560	2.30	0.51400	2.40	0.0666956	0.12	0.70	437.0	51.0	420.80	8.20	417.79	0.48	417.88	0.48														
13722	13	39.4	1.13	40.54	34.95	0.49	2041	0.05534	0.78	0.51050	0.82	0.0666936	0.06	0.56	425.0	18.0	418.80	2.80	417.67	0.25	417.76	0.25														
13723	14	101.8	3.61	105.46	28.23	0.39	1697	0.05534	0.94	0.50980	0.98	0.0666842	0.07	0.56	425.0	21.0	418.30	3.40	417.10	0.28	417.19	0.28														
13724	15	40.0	1.27	41.26	31.38	0.39	1883	0.05535	0.85	0.50970	0.90	0.0666817	0.12	0.40	425.0	19.0	418.20	3.10	416.95	0.50	417.04	0.49														
13725	16	29.5	1.68	31.22	17.60	0.36	1074	0.05549	1.50	0.51140	1.50	0.0666879	0.09	0.63	431.0	33.0	419.40	5.30	417.32	0.36	417.42	0.36														
PHOENIX Temora 535 nov 2017 180°C abrasion																																				
564	17	14.3	0.95	15.29	15.05	0.40	897	0.05520	1.80	0.50920	1.90	0.0666933	0.11	0.61	419.0	40.0	417.90	6.40	417.65	0.44	417.74	0.44	417.23 ± 0.14 Ma [X]-error, 95% c.l.													
570	18	10.4	0.47	10.86	22.13	0.32	1340	0.05518	1.20	0.50890	1.30	0.0666922	0.09	0.56	418.0	27.0	417.70	4.30	417.58	0.38	417.67	0.38														
571	19	164.7	0.82	165.55	201.02	0.42	11700	0.05518	0.14	0.50846	0.17	0.0666863	0.06	0.56	418.5	3.3	417.42	0.59	417.23	0.25	417.32	0.25														
583	20	22.5	0.78	23.31	28.92	0.43	1695	0.05539	0.94	0.51030	0.98	0.0666848	0.07	0.58	427.0	21.0	418.60	3.40	417.14	0.27	417.23	0.27														
584	21	52.8	0.78	53.59	67.51	0.38	3982	0.05533	0.40	0.50950	0.42	0.0666809	0.05	0.46	424.7	9.0	418.10	1.50	416.90	0.21	416.99	0.21														
587	22	19.7	1.48	21.17	13.34	0.46	784	0.05490	2.10	0.50600	2.20	0.0666821	0.11	0.67	408.0	46.0	415.70	7.30	416.98	0.46	417.06	0.46														
666	23	29.1	0.59	29.66	49.65	0.46	2873	0.05521	0.56	0.50910	0.58	0.0666908	0.06	0.47	420.0	12.0	417.90	2.00	417.50	0.23	417.59	0.23														
667	24	52.8	0.93	53.74	57.09	0.35	3396	0.05523	0.47	0.50909	0.49	0.0666855	0.05	0.48	421.0	11.0	417.70	1.70	417.18	0.21	417.27	0.21														
668	25	12.7	1.01	13.67	12.53	0.35	759	0.05610	2.10	0.51700	2.20	0.0666935	0.11	0.69	454.0	47.0	423.30	7.50	417.67	0.45	417.76	0.45														
670	26	28.6	0.97	29.52	29.58	0.39	1749	0.05549	0.91</																											

Temora2_z30	55	18.1	0.26	18.33	68.28	0.35	4101	0.05515	0.23	0.50880	0.27	0.066941	0.06	0.73	417.4	5.1	417.65	0.91	417.70	0.22	417.79	0.22
<i>PHOENIX Temora 2535 (bottle 2) oct 2020, 210°C Abrasion</i>																						
<i>Temora-2_S9</i>																						
Temora-2_S9	56	28.2	1.10	29.34	25.63	0.42	1523	0.05518	0.31	0.50848	0.31	0.066866	0.05	0.16	418.4	6.9	417.43	1.07	417.25	0.18	417.34	0.18
Temora-2_S9	57	33.4	1.45	34.87	23.04	0.39	1380	0.05528	0.30	0.51030	0.30	0.066979	0.05	0.15	422.6	6.7	418.65	1.05	417.93	0.19	418.02	0.19
Temora-2_S11	58	13.2	0.84	14.03	15.63	0.43	931	0.05538	0.46	0.50796	0.46	0.066554	0.06	0.11	426.6	10.3	417.08	1.58	415.36	0.23	415.45	0.23
Temora-2_S12	59	103.5	0.87	104.33	118.68	0.42	6983	0.05517	0.06	0.50849	0.08	0.066871	0.03	0.38	418.3	1.6	417.43	0.26	417.28	0.11	417.37	0.11
Temora-2_S13	60	62.2	0.69	62.88	89.64	0.39	5327	0.05526	0.09	0.50937	0.10	0.066887	0.03	0.28	421.6	2.1	418.03	0.34	417.38	0.11	417.47	0.11
Temora-2_S14	61	96.0	0.48	96.50	201.79	0.37	12006	0.05516	0.04	0.50857	0.06	0.066894	0.03	0.45	417.9	1.2	417.49	0.20	417.42	0.11	417.51	0.11
Temora-2_S16	62	36.7	0.80	37.50	45.95	0.40	2727	0.05528	0.15	0.50947	0.15	0.066876	0.03	0.17	422.4	3.4	418.09	0.53	417.30	0.12	417.39	0.12
<i>PHOENIX Temora 2535 (bottle 2) oct 2020 180°C Abrasion</i>																						
Temora-2_S1	63	43.0	0.89	43.87	48.28	0.46	2823	0.05532	0.16	0.51010	0.16	0.066907	0.03	0.15	424.2	3.6	418.52	0.55	417.49	0.13	417.58	0.13
Temora-2_S2	64	18.1	0.29	18.36	62.94	0.35	3785	0.05526	0.12	0.50954	0.12	0.066907	0.03	0.23	421.7	2.7	418.14	0.42	417.49	0.12	417.59	0.12
Temora-2_S3	65	26.6	0.45	27.03	58.43	0.45	3421	0.05529	0.13	0.50974	0.14	0.066893	0.03	0.28	423.1	3.0	418.28	0.47	417.41	0.12	417.50	0.12
Temora-2_S4	66	42.1	0.39	42.51	109.30	0.35	6558	0.05522	0.08	0.50865	0.10	0.066840	0.05	0.59	420.0	1.8	417.54	0.35	417.09	0.19	417.18	0.19
Temora-2_S5	67	19.4	0.81	20.22	23.87	0.41	1420	0.05543	0.29	0.51018	0.30	0.066781	0.05	0.20	428.7	6.6	418.57	1.03	416.74	0.18	416.83	0.19
Temora-2_S6	68	20.6	0.93	21.52	22.13	0.40	1325	0.05539	0.31	0.51113	0.31	0.066958	0.05	0.11	427.0	7.0	419.21	1.08	417.80	0.19	417.89	0.19
Temora-2_S7	69	8.9	0.30	9.18	29.13	0.45	1714	0.05491	0.31	0.50521	0.34	0.066760	0.07	0.43	407.5	7.0	415.22	1.15	416.61	0.30	416.70	0.30
Temora-2_S8	70	11.7	0.45	12.15	26.12	0.47	1530	0.05509	0.38	0.51021	0.45	0.067197	0.20	0.50	415.0	8.6	418.59	1.53	419.24	0.82	419.33	0.82
Grand mean Temora-2: N=60, Th-corrected: 417.492 ± 0.054 Ma																						
GJ-1																						
<i>TRITON GJ1_67 2535 (bottle 1) 2010 180°C Abrasion</i>																						
GJ1_67_z1	1	36.6	2.67	39.23	13.71	0.02	956	0.06009	0.58	0.80790	0.62	0.097560	0.13	0.41	606.0	12.0	601.30	2.80	600.12	0.76	600.22	0.76
GJ1_67_z2	2	573.7	1.81	575.53	316.39	0.02	21320	0.06008	0.06	0.80916	0.10	0.097725	0.06	0.80	605.5	1.4	601.98	0.45	601.06	0.32	601.16	0.32
GJ1_67_z3	3	292.7	1.76	294.46	165.90	0.02	11450	0.06007	0.07	0.80761	0.12	0.097561	0.08	0.80	604.9	1.5	601.11	0.53	600.10	0.46	600.20	0.46
GJ1_67_z4	4	121.2	1.68	122.90	72.20	0.02	4981	0.06005	0.13	0.80830	0.16	0.097661	0.05	0.59	604.5	2.9	601.49	0.72	600.69	0.30	600.78	0.30
GJ1_67_z5	5	141.8	1.62	143.37	87.68	0.02	6045	0.06011	0.11	0.80840	0.14	0.097585	0.05	0.59	606.4	2.5	601.54	0.62	600.24	0.31	600.34	0.31
GJ1_67_z6	6	66.1	1.86	67.99	35.55	0.02	2460	0.06006	0.24	0.80850	0.26	0.097684	0.05	0.49	604.6	5.1	601.60	1.20	600.82	0.29	600.92	0.29
<i>TRITON GJ1_67 535 2012 180°C Abrasion</i>																						
GJ1_67_z7	7	308.5	1.62	310.13	190.73	0.02	13130	0.06003	0.07	0.80730	0.14	0.097580	0.09	0.89	603.6	1.5	600.92	0.62	600.21	0.50	600.39	0.41 Ma [X]-error, 95% c.l.
GJ1_67_z8	8	94.1	1.05	95.13	89.82	0.02	6191	0.06005	0.12	0.80860	0.15	0.097696	0.07	0.69	604.5	2.6	601.64	0.70	600.89	0.38	600.99	0.38
GJ1_67_z9	9	50.2	1.15	51.34	43.76	0.02	3026	0.05999	0.19	0.80710	0.22	0.097621	0.06	0.54	602.3	4.1	600.83	0.99	600.45	0.35	600.55	0.35
GJ1_67_z10	10	75.1	1.23	76.34	61.01	0.02	4223	0.06003	0.14	0.80710	0.17	0.097548	0.06	0.68	603.8	3.0	600.82	0.77	600.02	0.32	600.12	0.32
GJ1_67_z12	11	104.7	1.55	106.21	67.36	0.02	4648	0.06003	0.12	0.80770	0.17	0.097623	0.06	0.75	603.7	2.7	601.14	0.75	600.46	0.36	600.56	0.36
<i>TRITON GJ1_67 2535 (bottle 2) 10_130m 210 degree abrasion 2020</i>																						
GJ1_z17	12	170.1	0.68	170.79	249.93	0.02	16575	0.06010	0.02	0.80869	0.07	0.097638	0.03	0.96	606.1	0.8	601.72	0.30	600.55	0.19	600.65	0.19
GJ1_z18	13	120.3	0.22	120.49	543.87	0.02	36054	0.06011	0.03	0.80857	0.06	0.097611	0.03	0.69	606.4	1.0	601.65	0.27	600.39	0.16	600.49	0.16
GJ1_z19	14	112.5	0.25	112.78	445.67	0.02	29547	0.06010	0.03	0.80863	0.06	0.097624	0.03	0.70	606.3	1.0	601.68	0.28	600.47	0.19	600.57	0.19
GJ1_z20	15	232.9	0.28	233.17	827.74	0.02	54853	0.06010	0.04	0.80835	0.07	0.097586	0.05	0.76	606.3	1.0	601.53	0.33	600.25	0.27	600.35	0.27
GJ1_z21	16	218.5	0.87	219.33	250.15	0.02	16590	0.06010	0.03	0.80845	0.06	0.097598	0.03	0.76	606.4	1.0	601.58	0.29	600.32	0.16	600.42	0.16
<i>PHOENIX GJ1_67 2535 (bottle 2) 2020 210°C Abrasion</i>																						
GJ1_S8	17	222.8	0.67	223.51	334.37	0.02	21889	0.06006	0.03	0.80847	0.05	0.097671	0.03	0.56	604.8	0.9	601.59	0.23	600.74	0.16	600.84	0.16
GJ1_S23	18	199.5	0.96	200.44	208.81	0.02	13679	0.05999	0.05	0.80565	0.07	0.097437	0.04	0.54	602.4	1.4	600.01	0.34	599.37	0.21	599.47	0.21
GJ1_S25	19	110.3	0.44	110.72	248.42	0.02	16250	0.06005	0.03	0.80466	0.05	0.097230	0.02	0.46	604.4	1.0	599.45	0.23	598.15	0.14	598.25	0.14
GJ1_S26	20	93.1	0.50	93.64	187.12	0.02	12257	0.06008	0.05	0.80479	0.07	0.097199	0.03	0.53	605.4	1.2	599.53	0.31	597.98	0.17	598.07	0.17
GJ1_S27	21	70.1	0.56	70.66	125.30	0.02	8211	0.06014	0.06	0.80833	0.07	0.097524	0.03	0.42	607.7	1.5	601.52	0.34	599.88	0.16	599.98	0.16
GJ1_S28	22	38.0	0.32	38.35	120.09	0.02	7872	0.06002	0.08	0.80708	0.10	0.097570	0.04	0.58								